

Evolução da Cultura e da Linguagem



Grupo Ic-Complex



O que um Físico pode dizer sobre Cultura e Linguagem?



O que nos torna
diferentes dos demais seres?



O que nos torna diferentes dos demais seres?



O que nos torna diferentes dos demais seres?



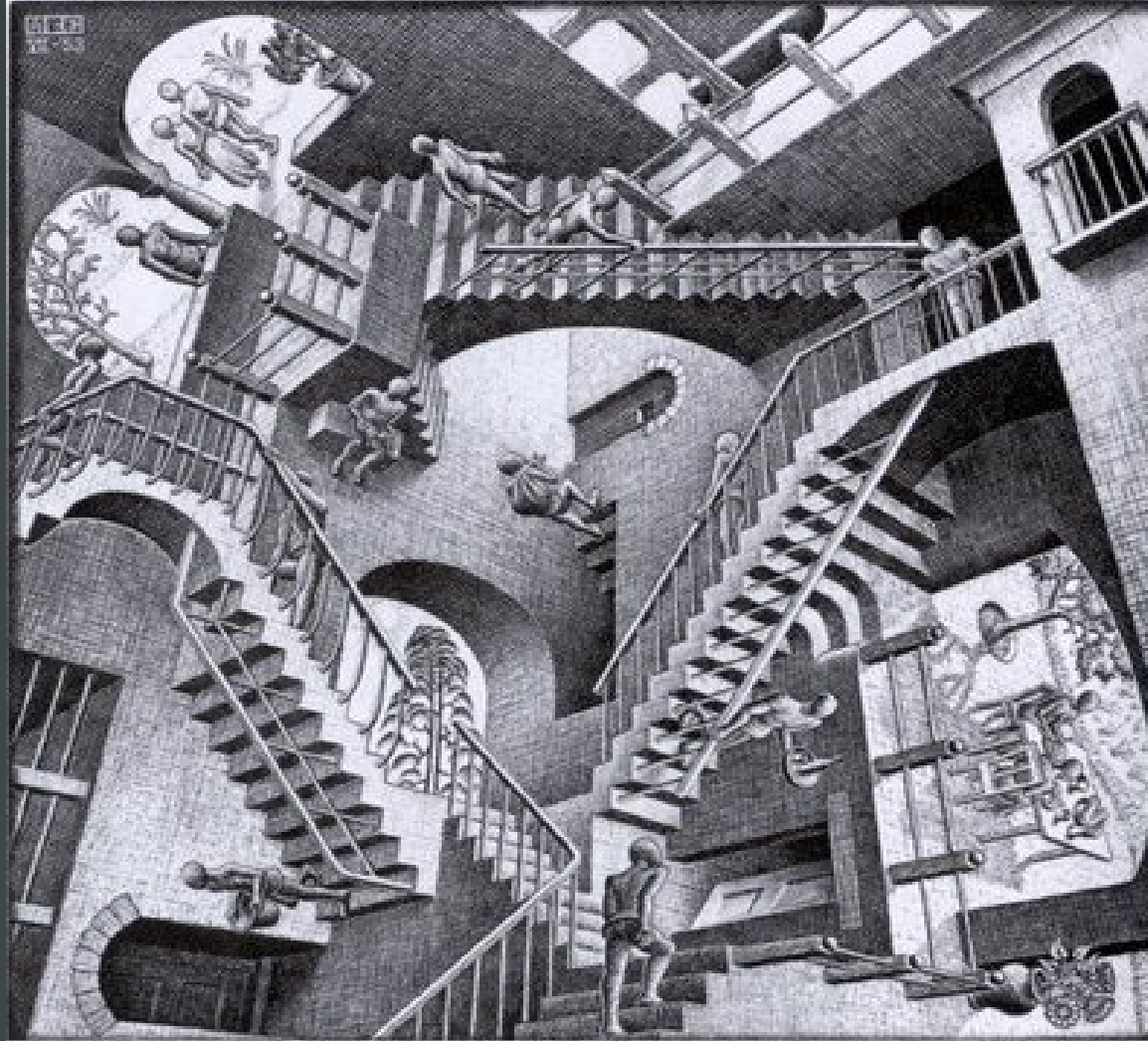
www.shutterstock.com · 8798848



O que nos torna diferentes dos demais seres?



O que nos torna diferentes dos demais seres?



O que nos torna diferentes dos demais seres?



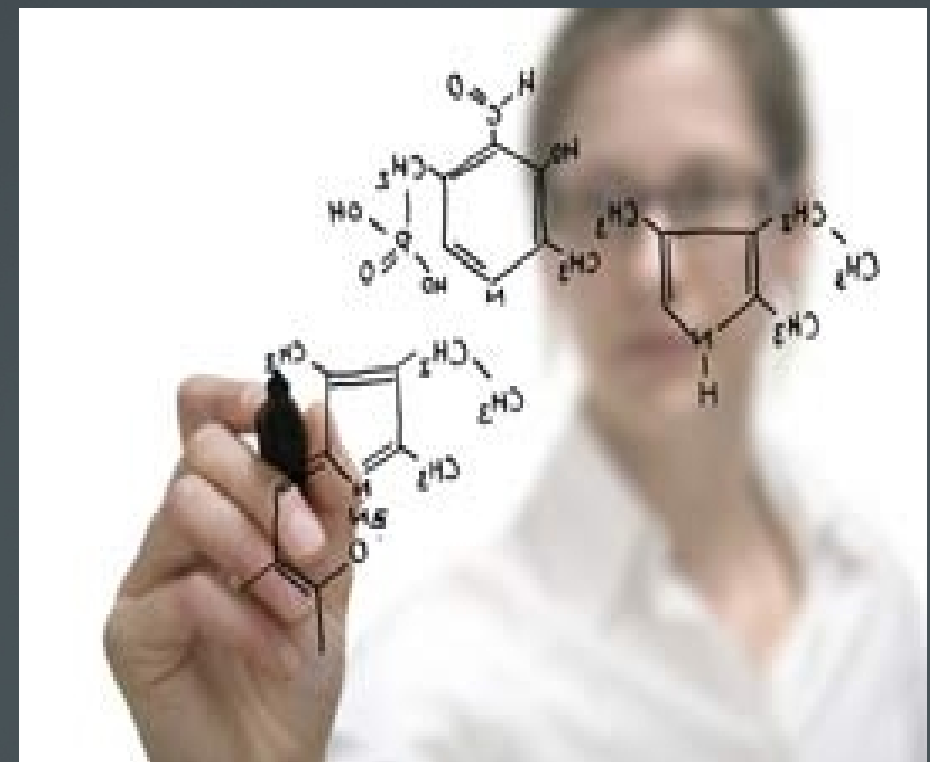
O que nos torna diferentes dos demais seres?



O que nos torna diferentes dos demais seres?



O que nos torna diferentes dos demais seres?



O que nos torna diferentes dos demais seres?



O que nos torna
diferentes dos demais seres?



O que nos torna diferentes dos demais seres?

- Capacidade Criativa;
- Mente Simbólica;
- Ideia de Religião (Sobrenatural):



Quando e Como essas
Características "humanas"
Surgiram?



Sumário

- Evidencias Arqueológicas;
- Hipóteses para explicar essas características exclusivamente humanas.
- Uso de Modelos Matemáticos para descrição;



Evolução Humana

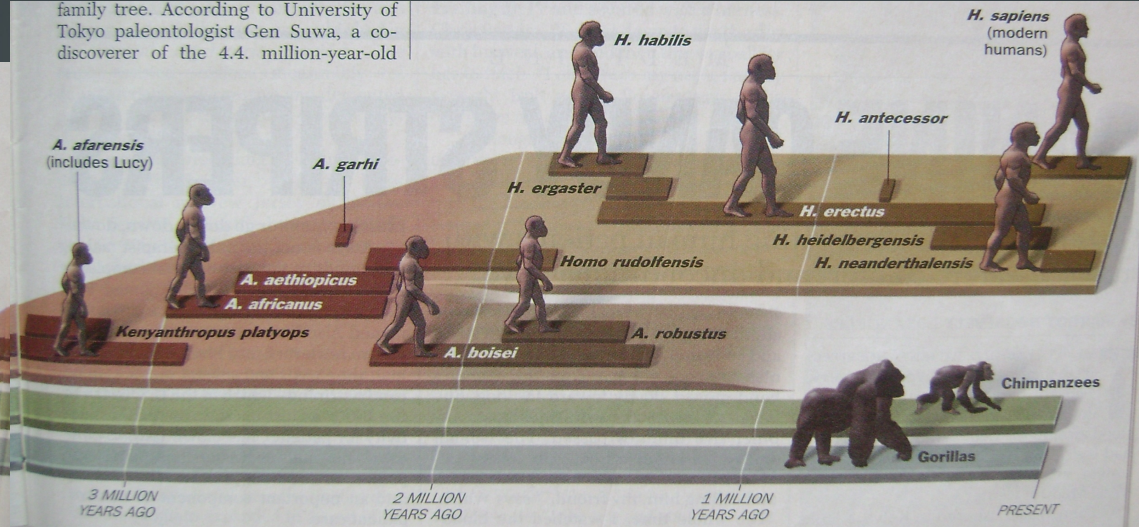
A WALK THROUGH HUMAN EVOLUTION

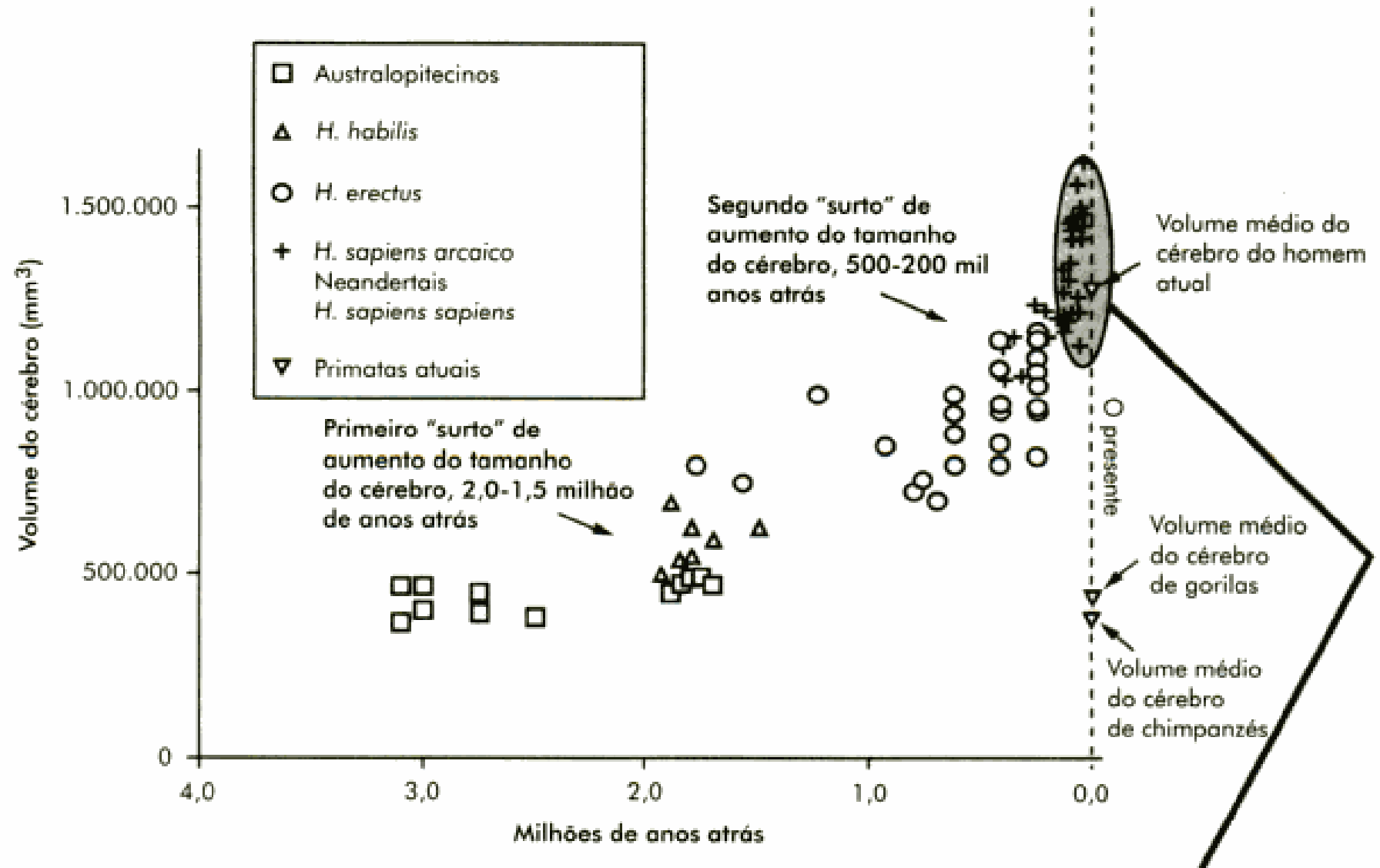
The newest fossils have brought scientists tantalizingly close to the time when humans first walked upright—splitting off from chimpanzees. Their best guess is that it happened at least 6 million years ago.

Last common ancestor
The species should have features reminiscent of both apes and humans—but that's true of several species already found, so identification may be tough



family tree. According to University of Tokyo paleontologist Gen Suwa, a co-discoverer of the 4.4. million-year-old





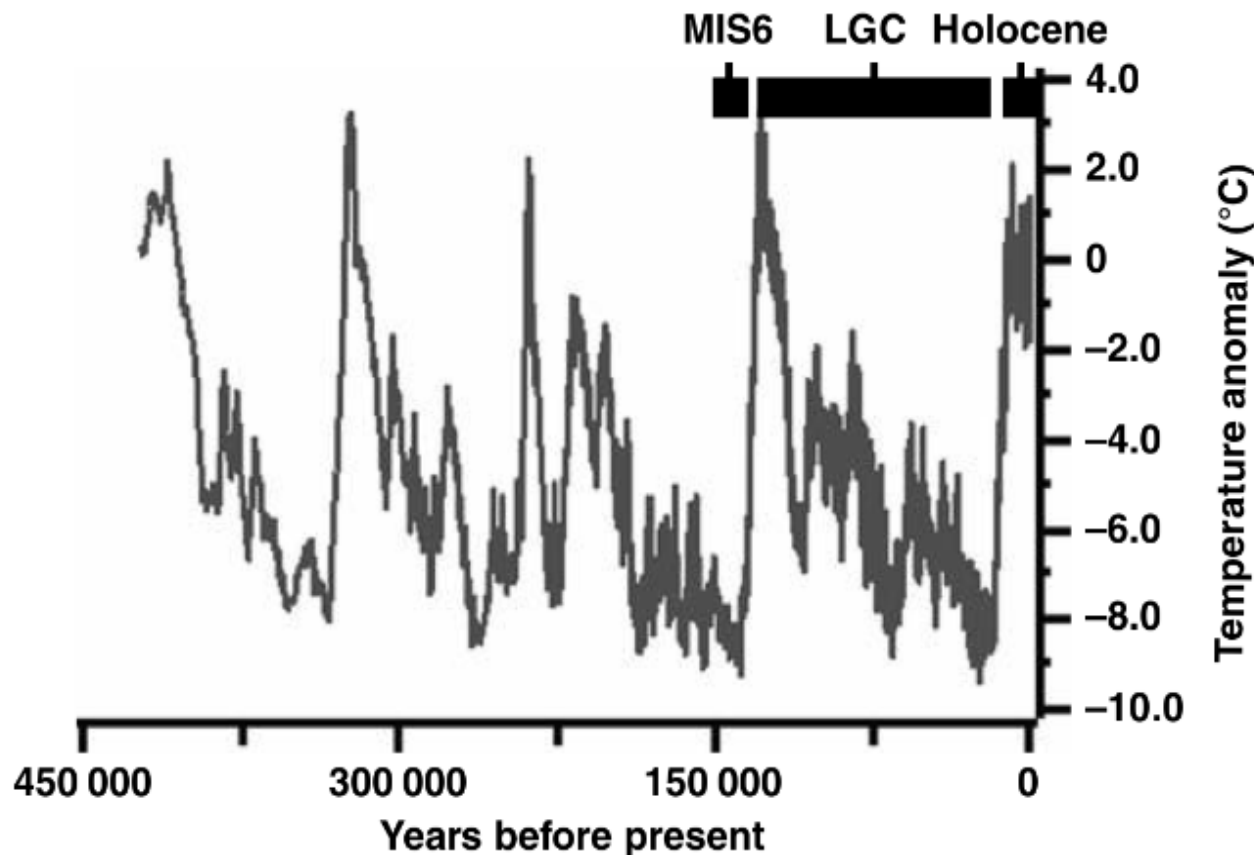
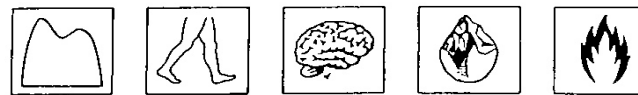
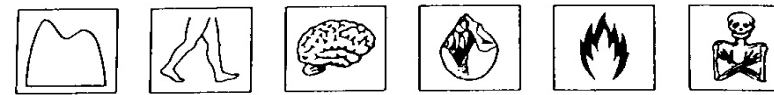
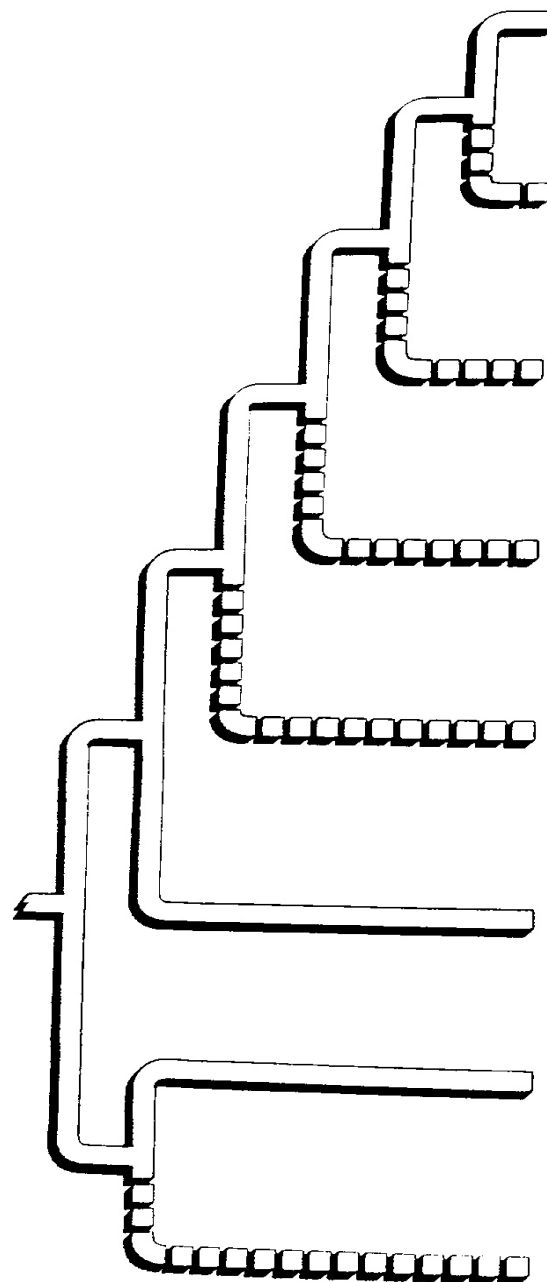


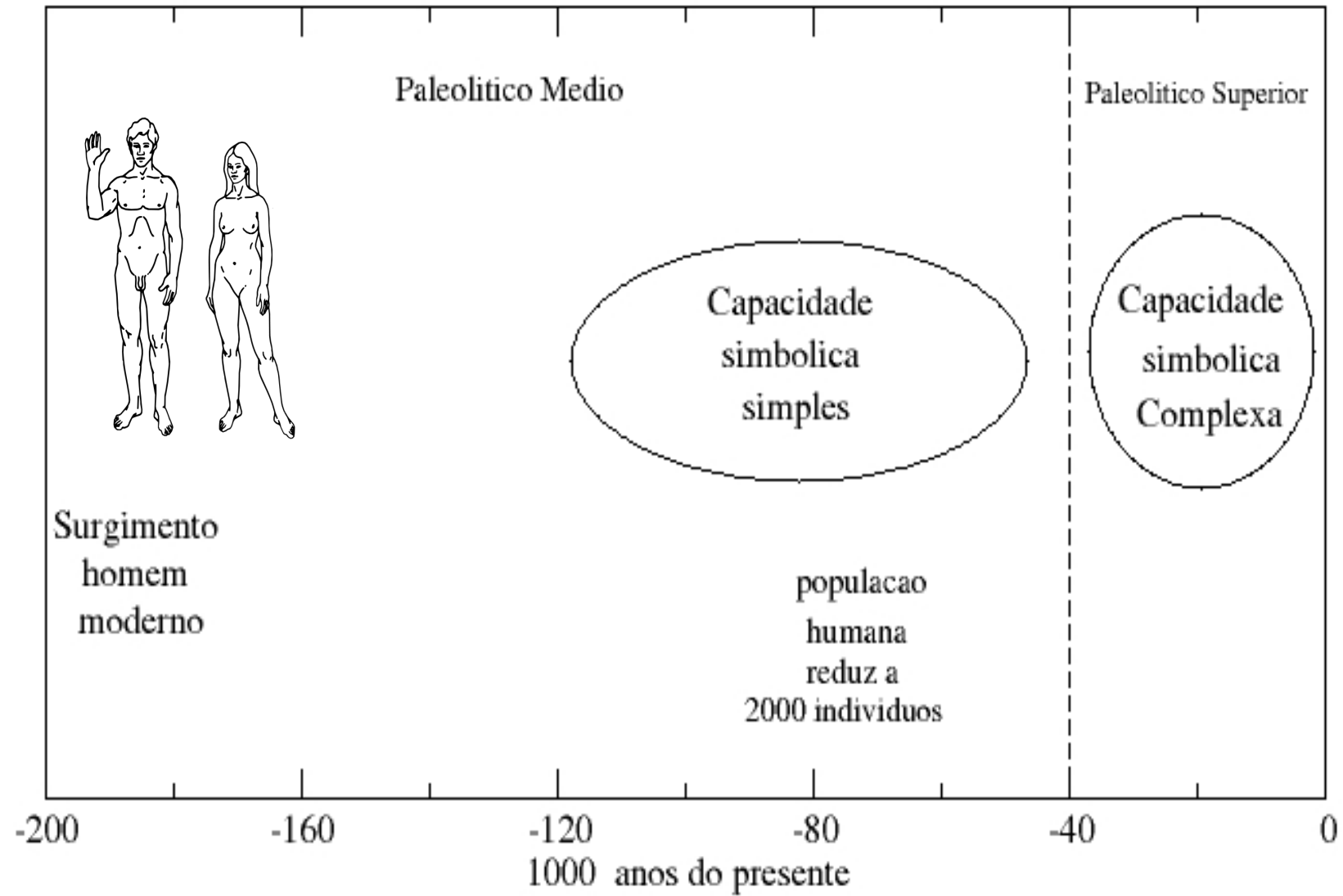
Figure 1.2 Temperature reconstruction of lower atmosphere over the last 450 000 years, expressed as an anomaly relative to present-day values. The data, described in Petit *et al.* (1999), is derived from analysis of historical stable isotopes from the Vostok ice core. Also indicated are marine isotope stage 6 (MIS6), last glacial cycle (LGC) and Holocene intervals.



chimpanzees and gorillas

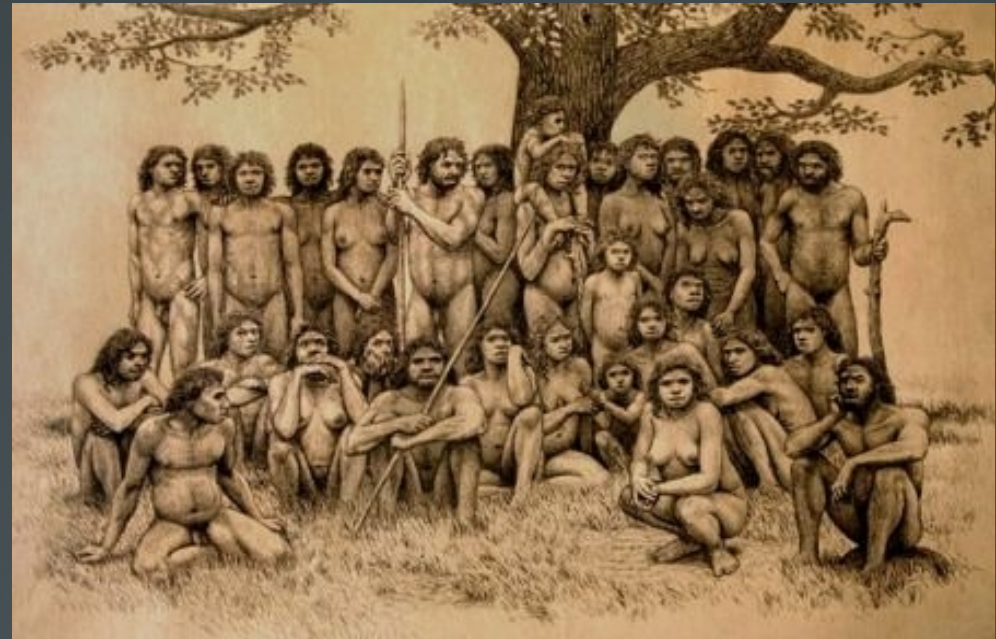
orangutans

the sivapithecines



Paleolítico Médio (antes de 40.000 a.C.)

- 300.000 a.C. : Cova dos Ossos;
- 285.000 a.C. : Ocre no Kenya;
- 233.000 a.c.: Estatueta em Israel;
- 200.000 a.C. : Ocre na Zambia;
- 130.000 a.C. : Mais antigo registro de enterro intencional (Croácia);
- 100.000 a.C. Mais antigo registro de ritual de enterro (Israel);
- 80.000 a.C : Arpões elaborados na R.D. do Congo;
- 75.000 a.C.: Contas de Concha na África do Sul.



Paleolítico Médio (antes de 40.000 a.C.)

- 300.000 a.C. : Cova dos Ossos;
- 285.000 a.C. : Ocre no Kenya;
- 233.000 a.c.: Estatueta em Israel;
- 200.000 a.C. : Ocre na Zambia;
- 130.000 a.C. : Mais antigo registro de enterro intencional (Croácia);
- 100.000 a.C. Mais antigo registro de ritual de enterro (Israel);
- 80.000 a.C : Arpões elaborados na R.D. do Congo;
- 75.000 a.C.: Contas de Concha na África do Sul.



Paleolítico Médio (antes de 40.000 a.C.)

- 300.000 a.C. : Cova dos Ossos;
- 285.000 a.C. : Ocre no Kenya;
- 233.000 a.c.: Estatueta em Israel;
- 200.000 a.C. : Ocre na Zambia;
- 130.000 a.C. : Mais antigo registro de enterro intencional (Croácia);
- 100.000 a.C. Mais antigo registro de ritual de enterro (Israel);
- 80.000 a.C : Arpões elaborados na R.D. do Congo;
- 75.000 a.C.: Contas de Concha na África do Sul.



Paleolítico Médio (antes de 40.000 a.C.)

- 300.000 a.C. : Cova dos Ossos;
- 285.000 a.C. : Ocre no Kenya;
- 233.000 a.c.: Estatueta em Israel;
- 200.000 a.C. : Ocre na Zambia;
- 130.000 a.C. : Mais antigo registro de enterro intencional (Croácia);
- 100.000 a.C. Mais antigo registro de ritual de enterro (Israel);
- 80.000 a.C : Arpões elaborados na R.D. do Congo;
- 75.000 a.C.: Contas de Concha na África do Sul.



Paleolítico Médio (antes de 40.000 a.C.)

- 300.000 a.C. : Cova dos Ossos;
- 285.000 a.C. : Evidências de Ocre;
- 233.000 a.c.: Estatueta em Israel;
- 200.000 a.C. : Ocre na Zambia;
- 130.000 a.C. : Mais antigo registro de enterro intencional (Croácia);
- 100.000 a.C. Mais antigo registro de ritual de enterro (Israel);
- 80.000 a.C : Arpões elaborados na R.D. do Congo;
- 75.000 a.C.: Contas de Concha na África do Sul.



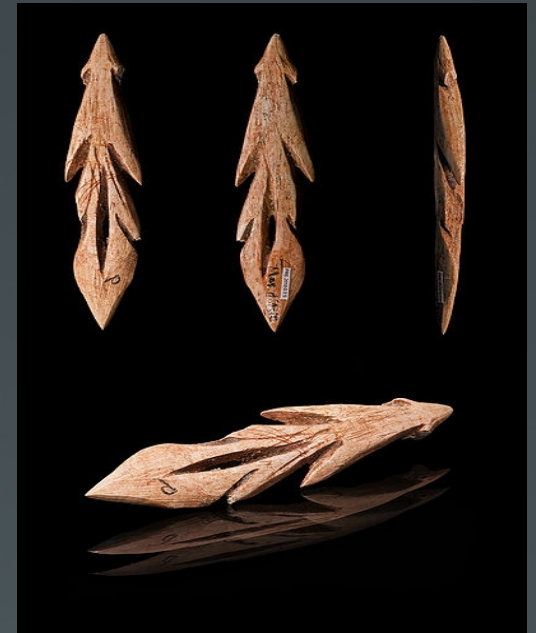
Paleolítico Médio (antes de 40.000 a.C.)

- 300.000 a.C. : Cova dos Ossos;
- 285.000 a.C. : Evidências de Ocre;
- 233.000 a.c.: Estatueta em Israel;
- 200.000 a.C. : Ocre na Zambia;
- 130.000 a.C. : Mais antigo registro de enterro intencional (Croácia);
- 100.000 a.C. Mais antigo registro de ritual de enterro (Israel);
- 80.000 a.C : Arpões elaborados na R.D. do Congo;
- 75.000 a.C.: Contas de Concha na África do Sul.



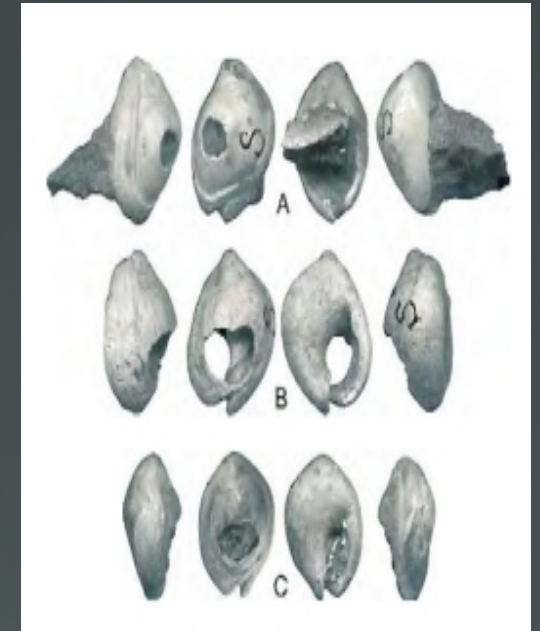
Paleolítico Médio (antes de 40.000 a.C.)

- 300.000 a.C. : Cova dos Ossos;
- 285.000 a.C. : Evidências de Ocre Vermelho;
- 233.000 a.c.: Estatueta em Israel;
- 200.000 a.C. : Ocre na Zambia;
- 130.000 a.C. : Mais antigo registro de enterro intencional (Croácia);
- 100.000 a.C. Mais antigo registro de ritual de enterro (Israel);
- 80.000 a.C : Arpões elaborados (R.D. do Congo);
- 75.000 a.C.: Contas de Concha na África do Sul.

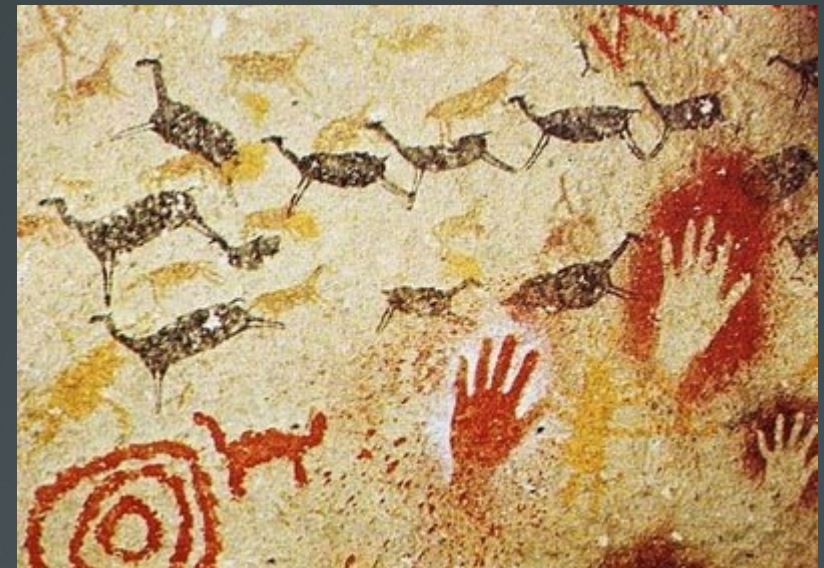


Paleolítico Médio (antes de 40.000 a.C.)

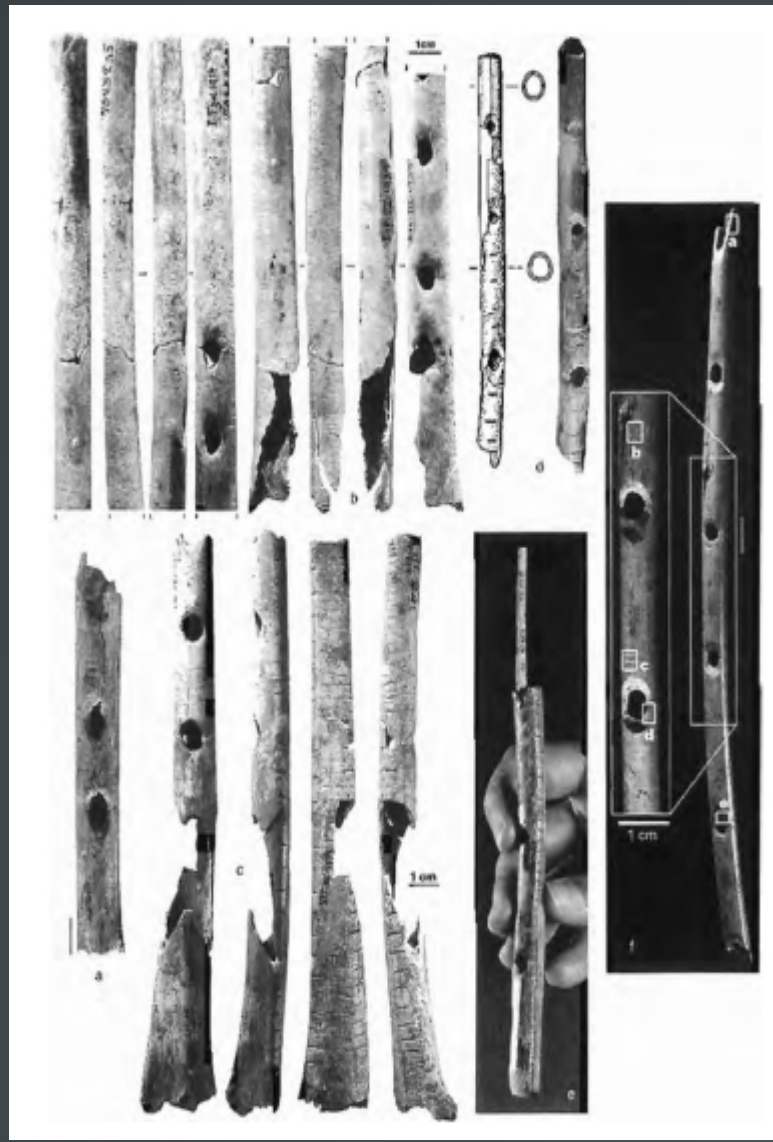
- 300.000 a.C. : Cova dos Ossos;
- 285.000 a.C. : Evidências de Ocre Vermelho;
- 233.000 a.c.: Estatueta em Israel;
- 200.000 a.C. : Ocre na Zambia;
- 130.000 a.C. : Mais antigo registro de enterro intencional (Croácia);
- 100.000 a.C. Mais antigo registro de ritual de enterro (Israel);
- 80.000 a.C : Arpões elaborados na R.D. do Congo;
- 75.000 a.C.: Contas de Concha na África do Sul.



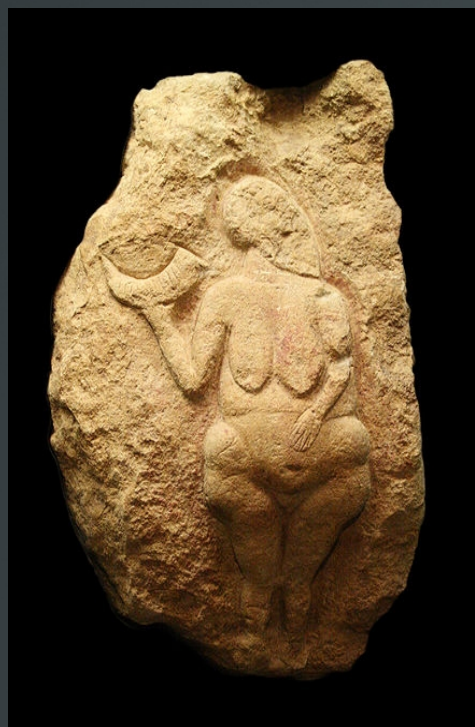
Paleolítico Superior (após 40.000 a.c.)



Paleolítico Superior (após 40.000 a.c.)



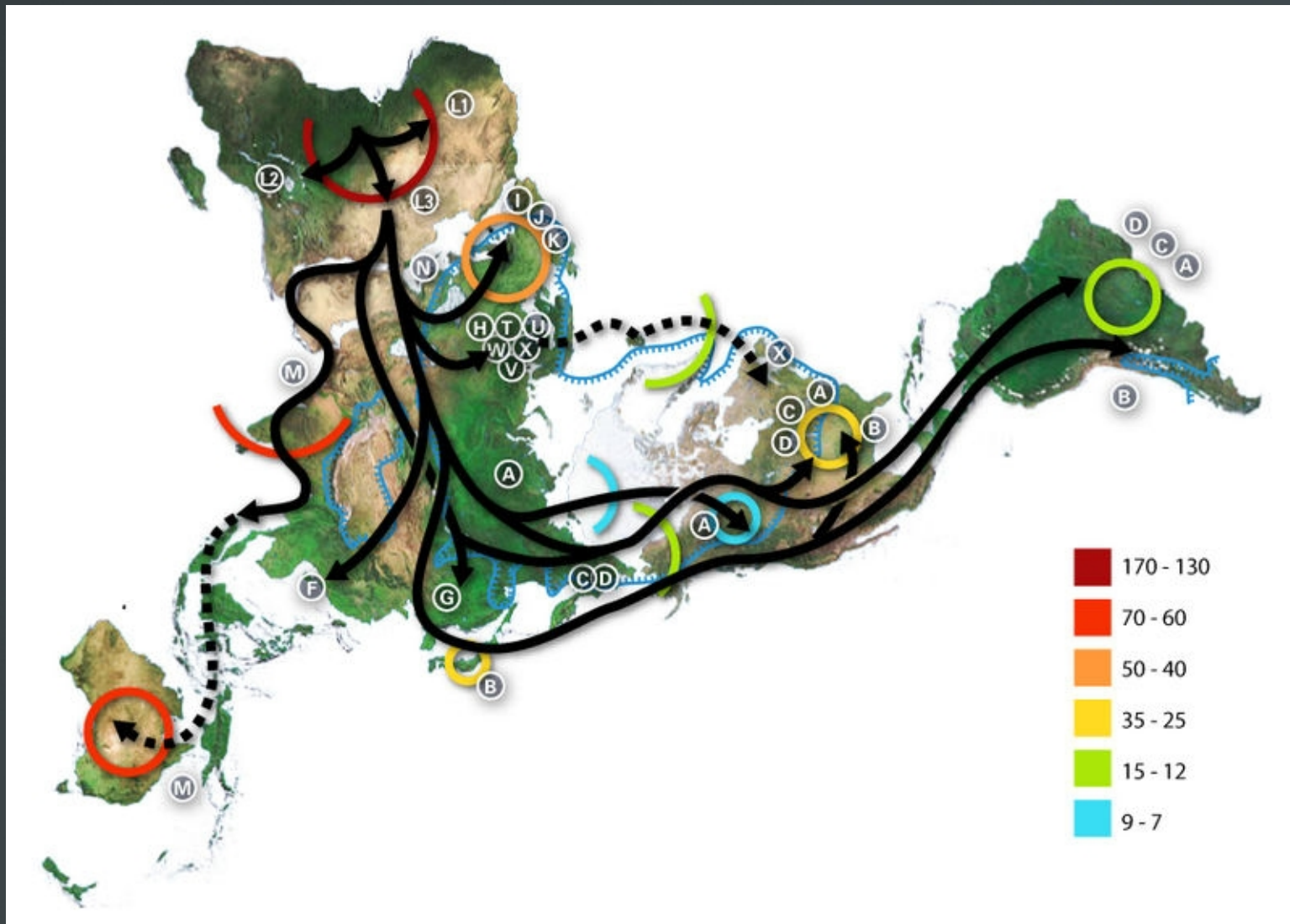
Paleolítico Superior (após 40.000 a.c.)

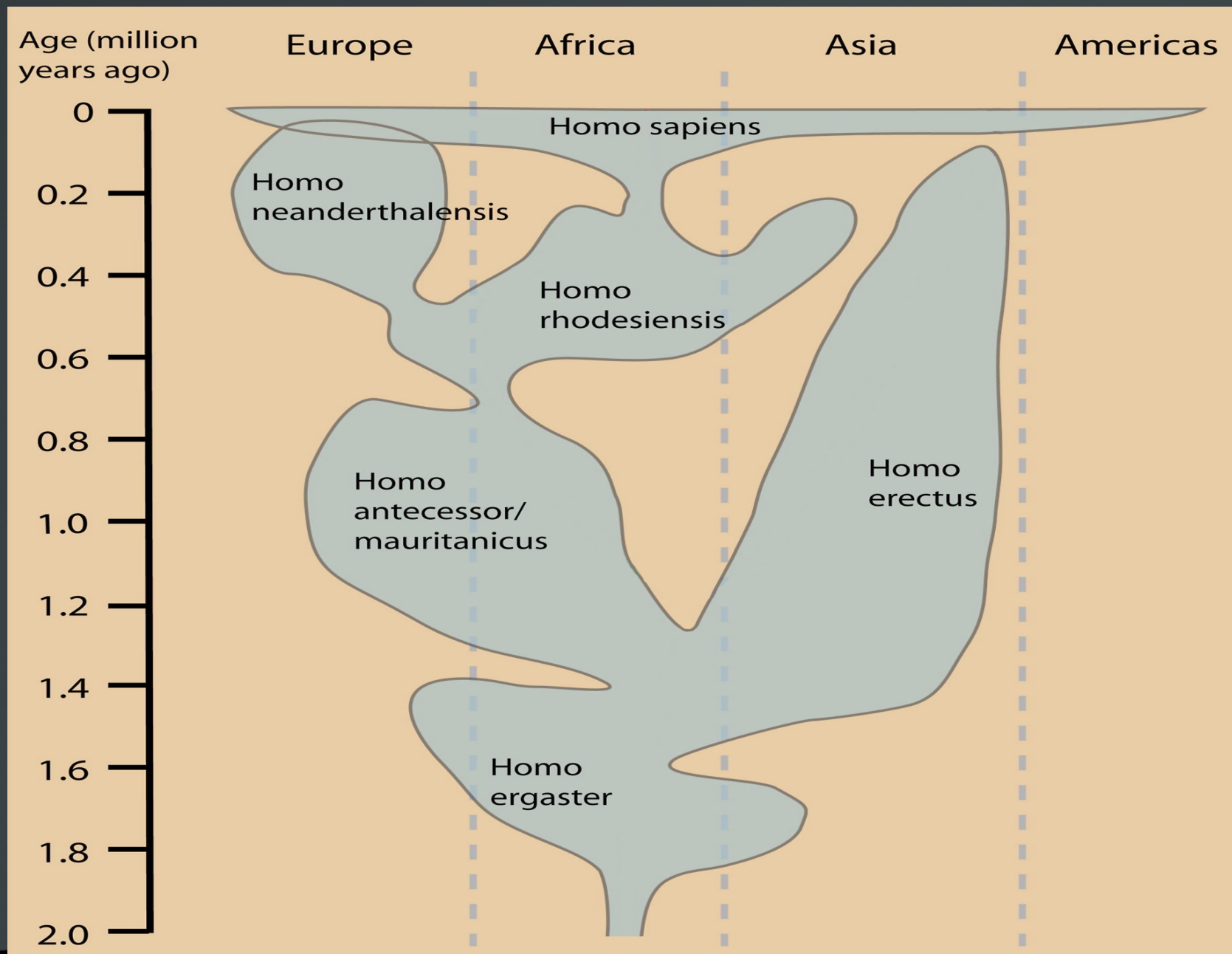


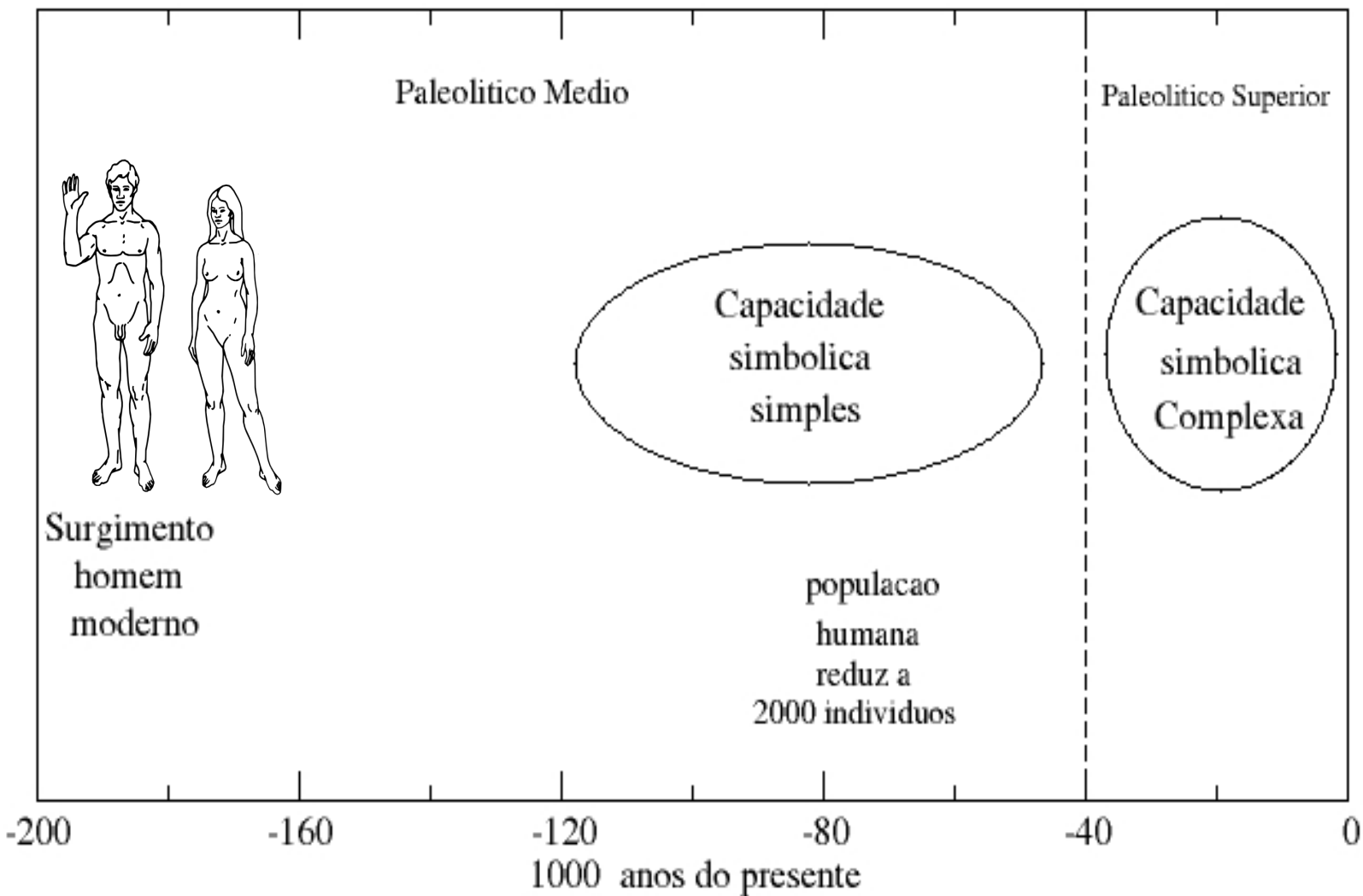
Paleolítico Superior (após 40.000 a.c.)



Paleolítico Superior (após 40.000 a.c.)





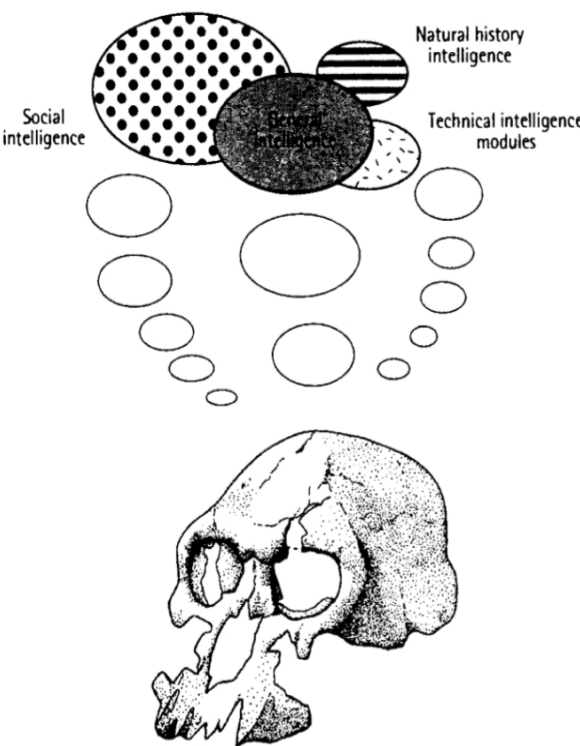


O que aconteceu por volta de
40.000 a.C. ?



Hipótese I: Mutação





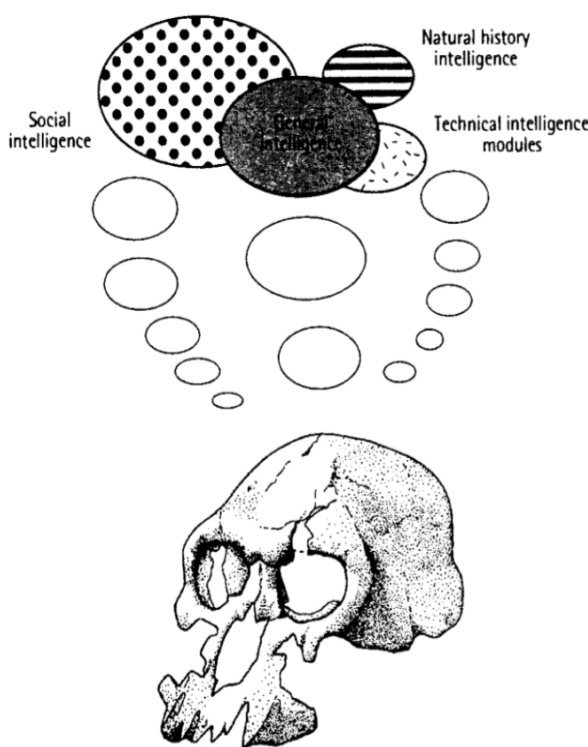
10 The mind of early Homo. The drawing depicts the *H. habilis* skull known as KNM-ER 1470. This was discovered in 1972 at Koobi Fora, Kenya, and dates to 1.9 million years ago.

1,5M ~ 40.000 a.C.



The mind of the first stone toolmaker

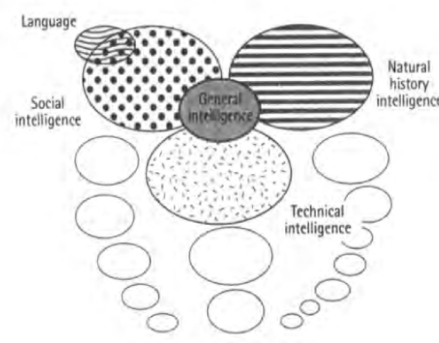
127



10 The mind of early Homo. The drawing depicts the H. habilis skull known as KNM-ER 1470. This was discovered in 1972 at Koobi Fora, Kenya, and dates to 1.9 million years ago.

The multiple intelligences of the Early Human mind

165



16 The mind of H. erectus. The drawing depicts the skull denoted by KNM-WT 15000, otherwise known as the Nariokotome boy. This was discovered in Kenya in 1984 and dates to around 1.6 million years ago.

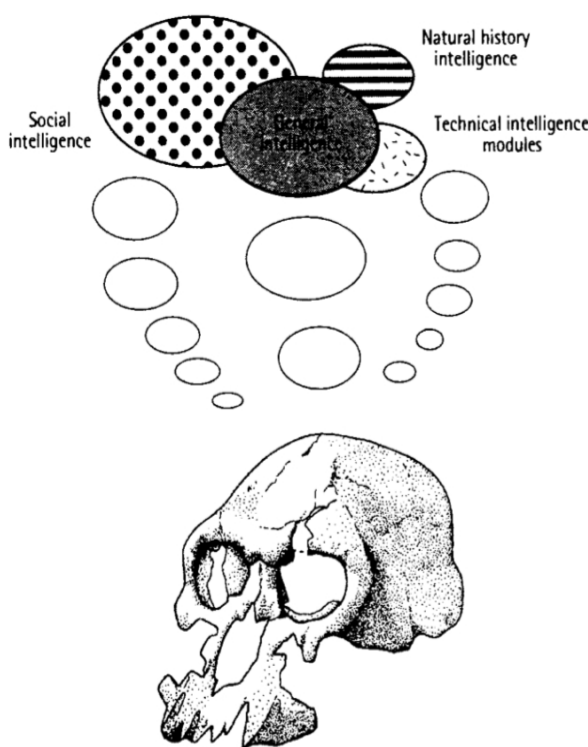
1,5M ~ 40.000 a.C.

100.000 ~ 40.000 a.C.



The mind of the first stone toolmaker

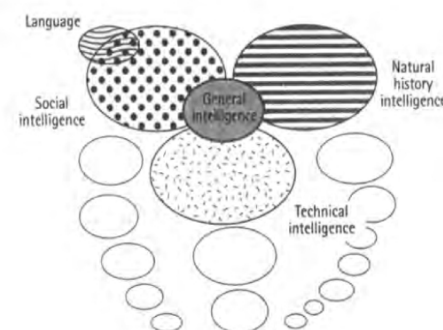
127



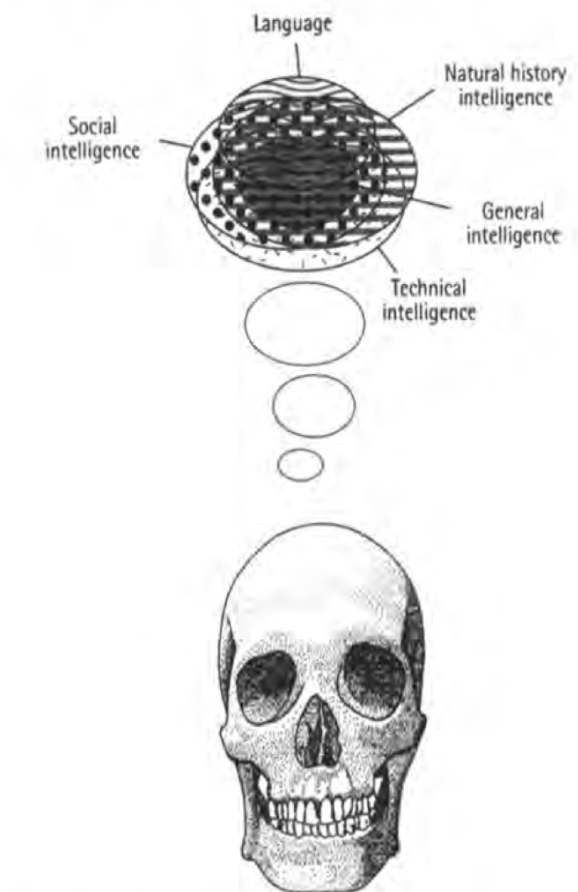
10 The mind of early Homo. The drawing depicts the *H. habilis* skull known as KNM-ER 1470. This was discovered in 1972 at Koobi Fora, Kenya, and dates to 1.9 million years ago.

The multiple intelligences of the Early Human mind

165



16 The mind of *H. erectus*. The drawing depicts the skull denoted by KNM-WT 15000, otherwise known as the Nariokotome boy. This was discovered in Kenya in 1984 and dates to around 1.6 million years ago.



17 The modern hunter-gatherer mind.

1,5M ~ 40.000 a.C.

100.000 ~ 40.000 a.C.

40.000 a.C.



Deficiências da Hipótese

- Escala de tempo:
rápida dissiminação
do pensamento simbólico;
- Lampejos Simbólicos do Paleolítico Médio.



Hipótese II: Emergência

- Homem moderno seria anatomicamente e mentalmente idêntico há 195.000 anos;
- Acontecimento de um evento (que não foi mutação) em torno de 40.000 anos atrás;
- Este evento proporcionou a Emergência de Comportamento Simbólico.



Que Evento foi esse?

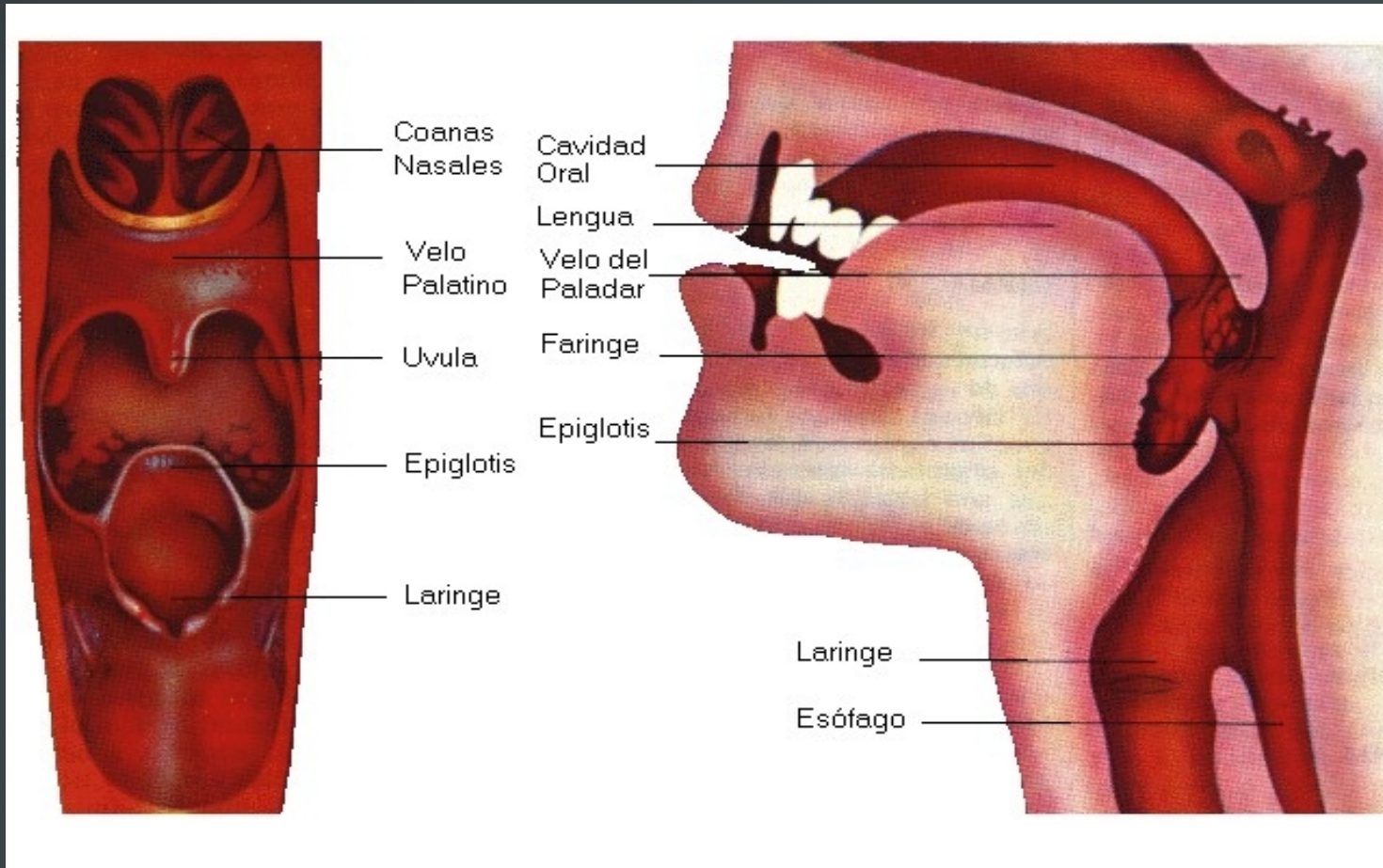




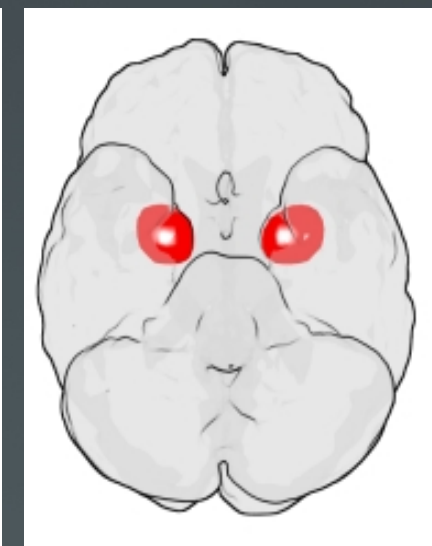
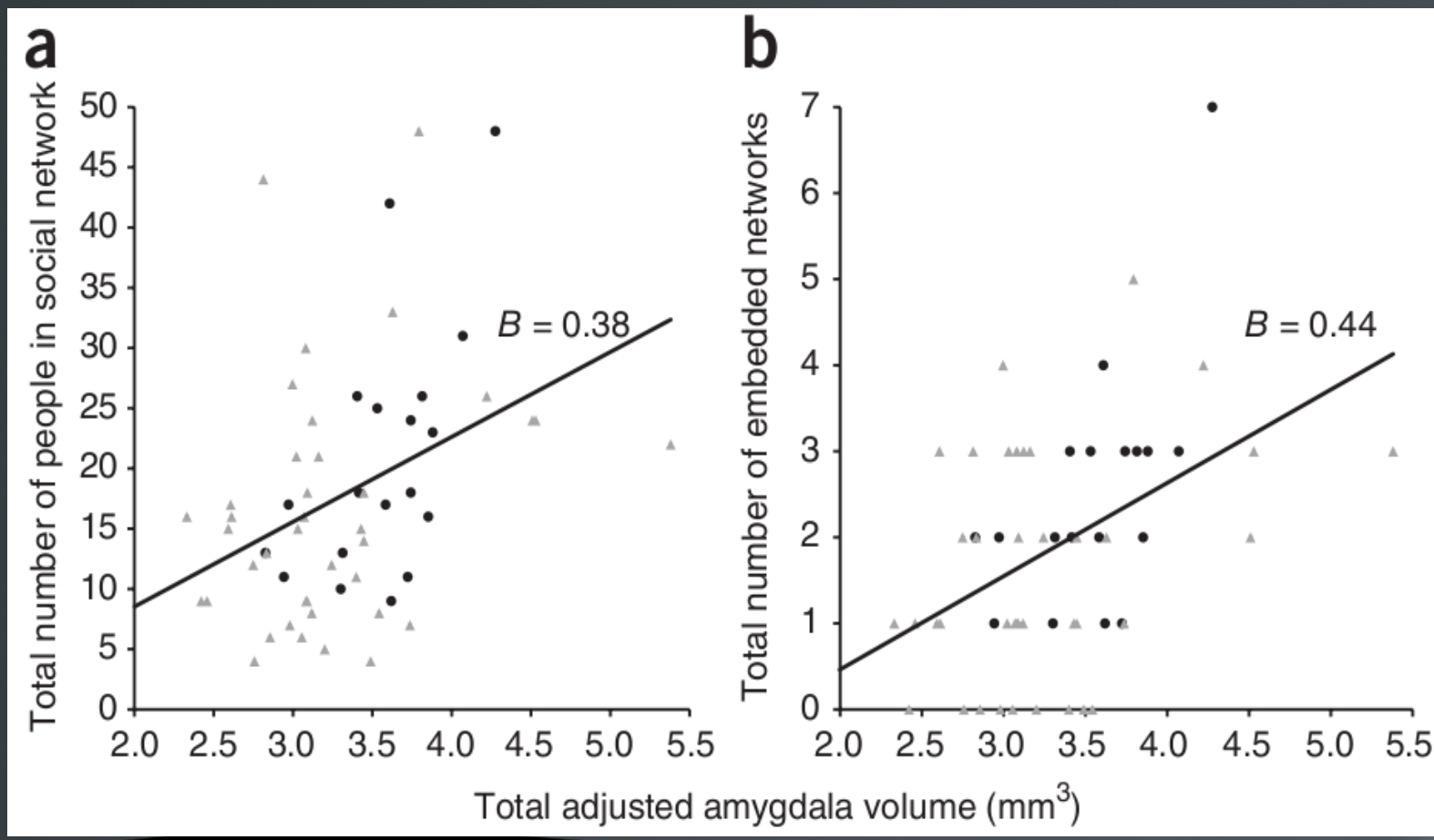
Evento Candidato: Linguagem Falada



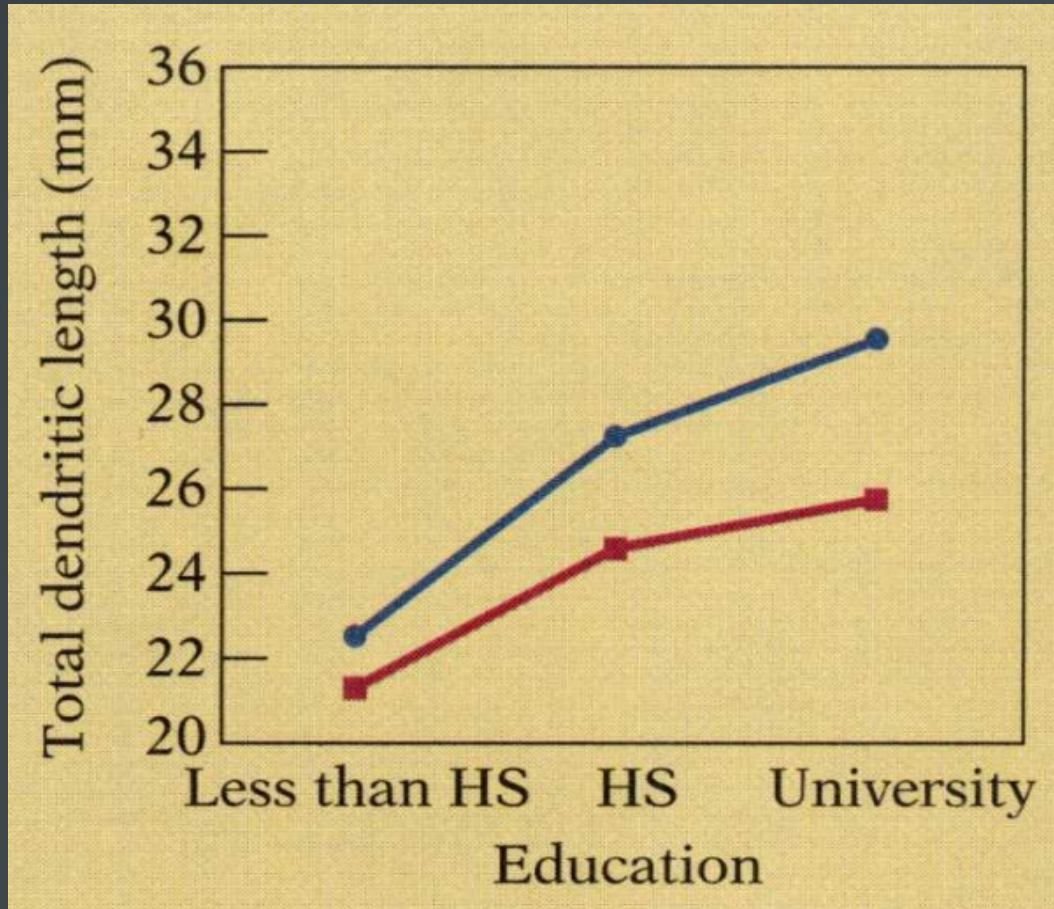
Evento Candidato: Linguagem Falada



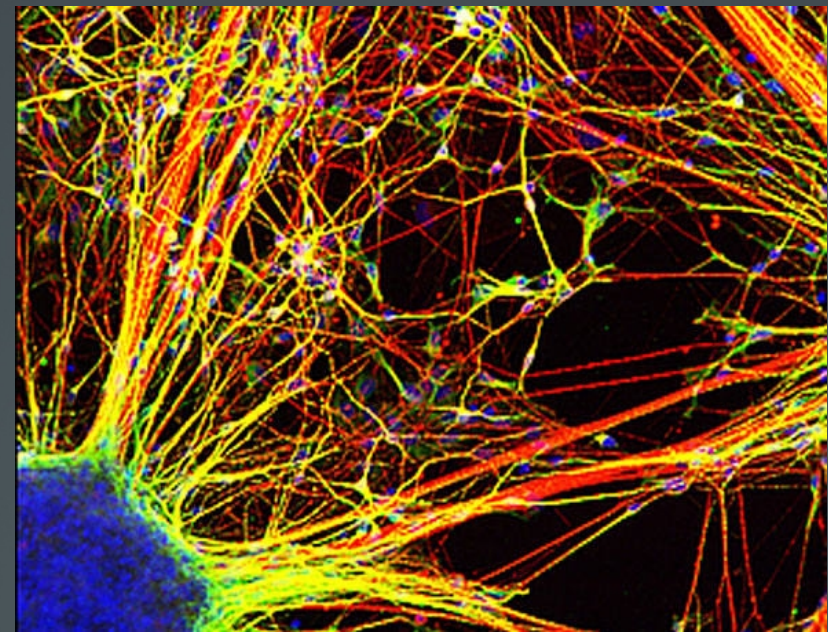
Cérebro Humano se diferencia de acordo com estímulos



Cérebro Humano se diferencia de acordo com estímulos



Linguagem → Trocas de informação → Complexidade Neural



Modelos Matemáticos para o estudo da Emergência de Linguagem





Modelo

1. Seleciona aleatoriamente 2 sítios da rede: i (passivo) e j (ativo);

$$i : (\sigma_{i1}, \sigma_{i2}, \dots, \sigma_{iF})$$

$$j : (\sigma_{j1}, \sigma_{j2}, \dots, \sigma_{jF})$$

onde

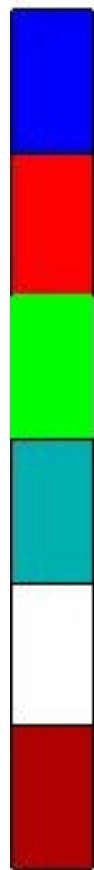
$$\sigma_{kf} = 0, 1, \dots, q - 1$$

2. Calcula o numero de sinais comuns entre i e j :

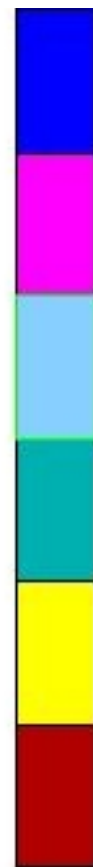
$$R_{ij} = \sum_{f=1}^F \delta_{\sigma_{if} \sigma_{jf}}$$

3. Se $R_{ij} > R_{trans}$, i adquire uma característica de j .

i

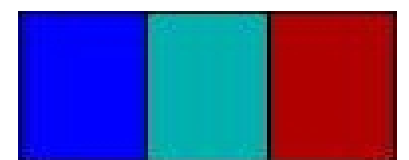


j

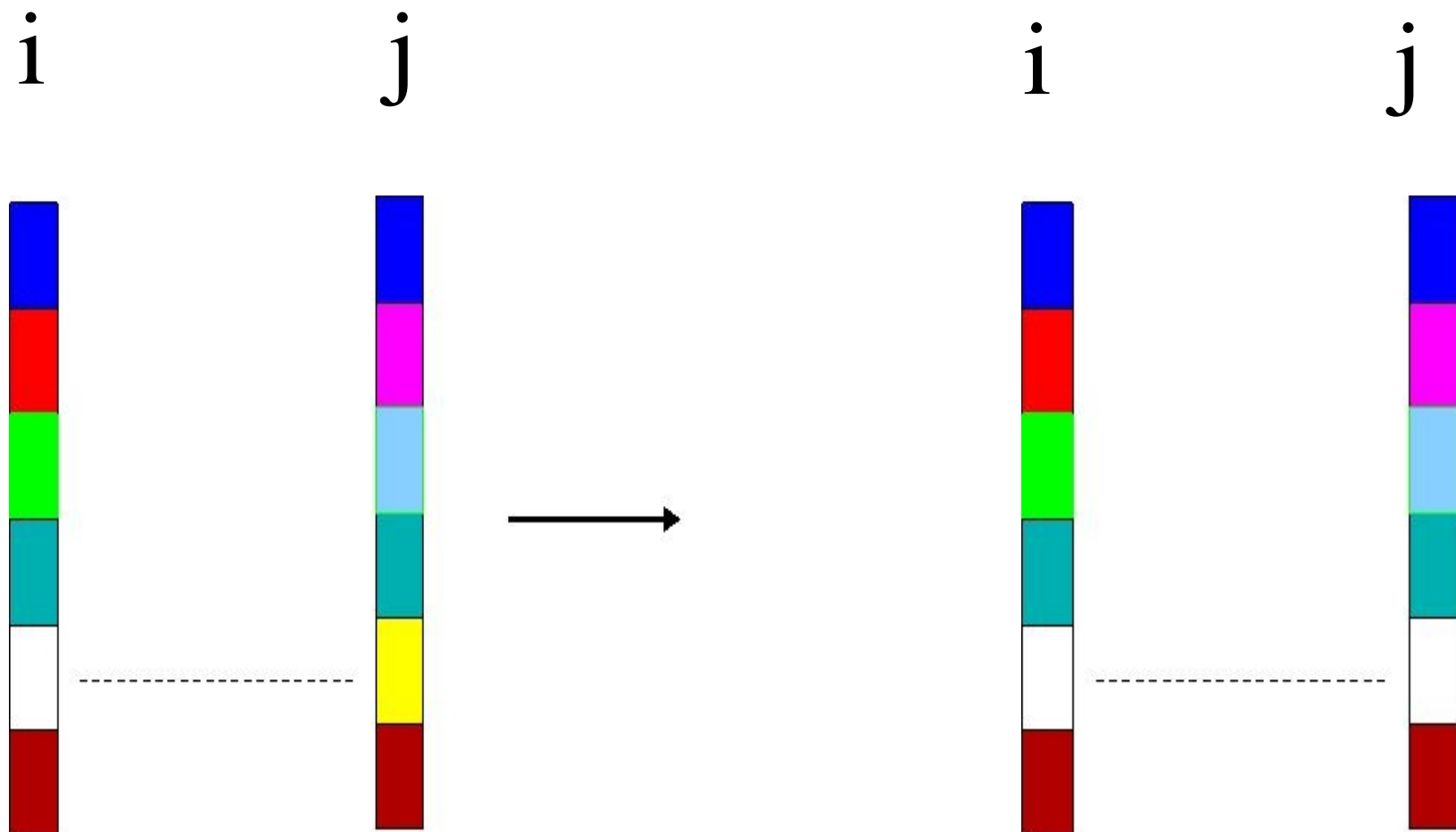


$$R_{ij} = 3$$

Informação Comum:

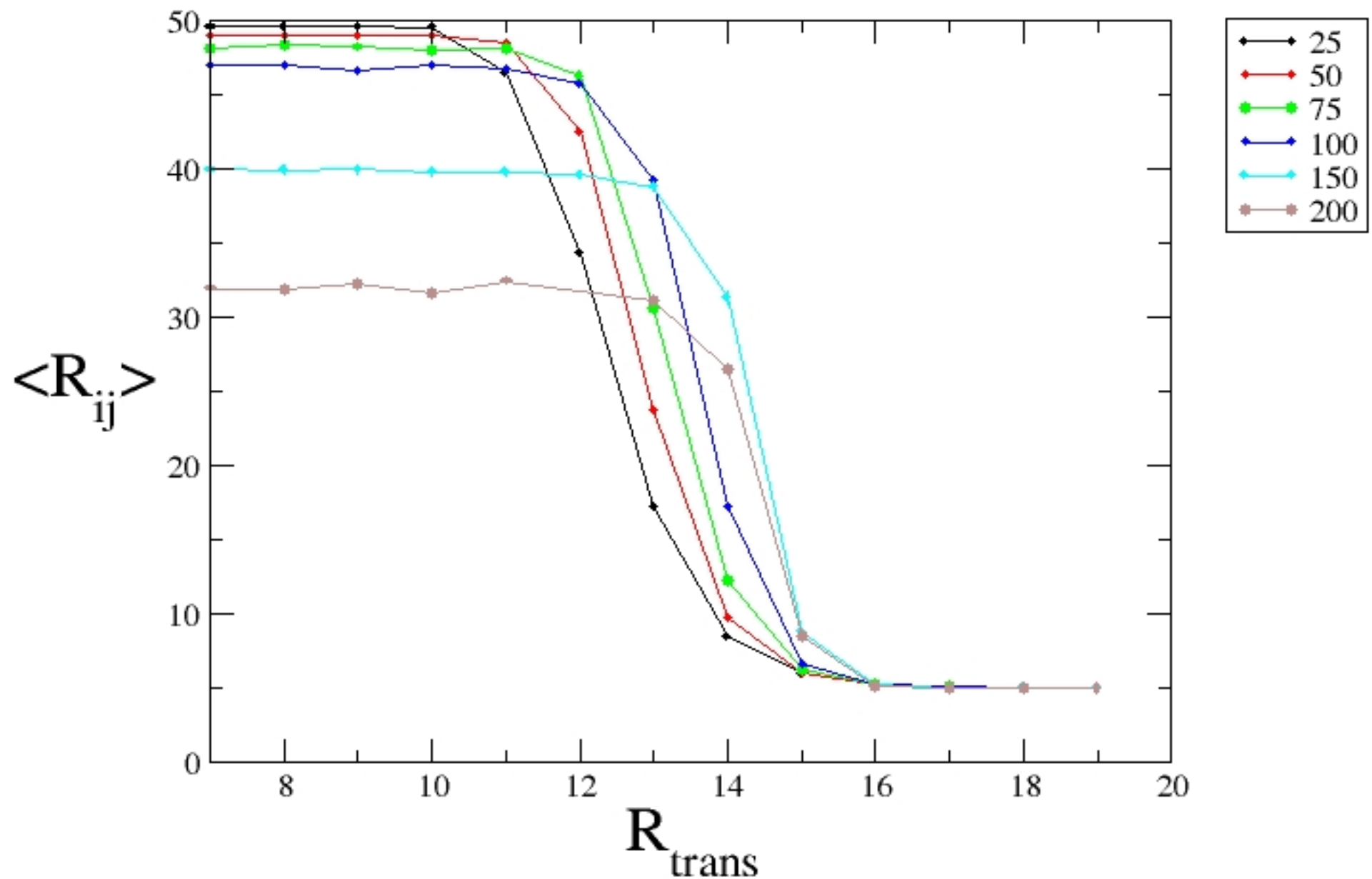


Se $R_{ij} > R_{trans}$

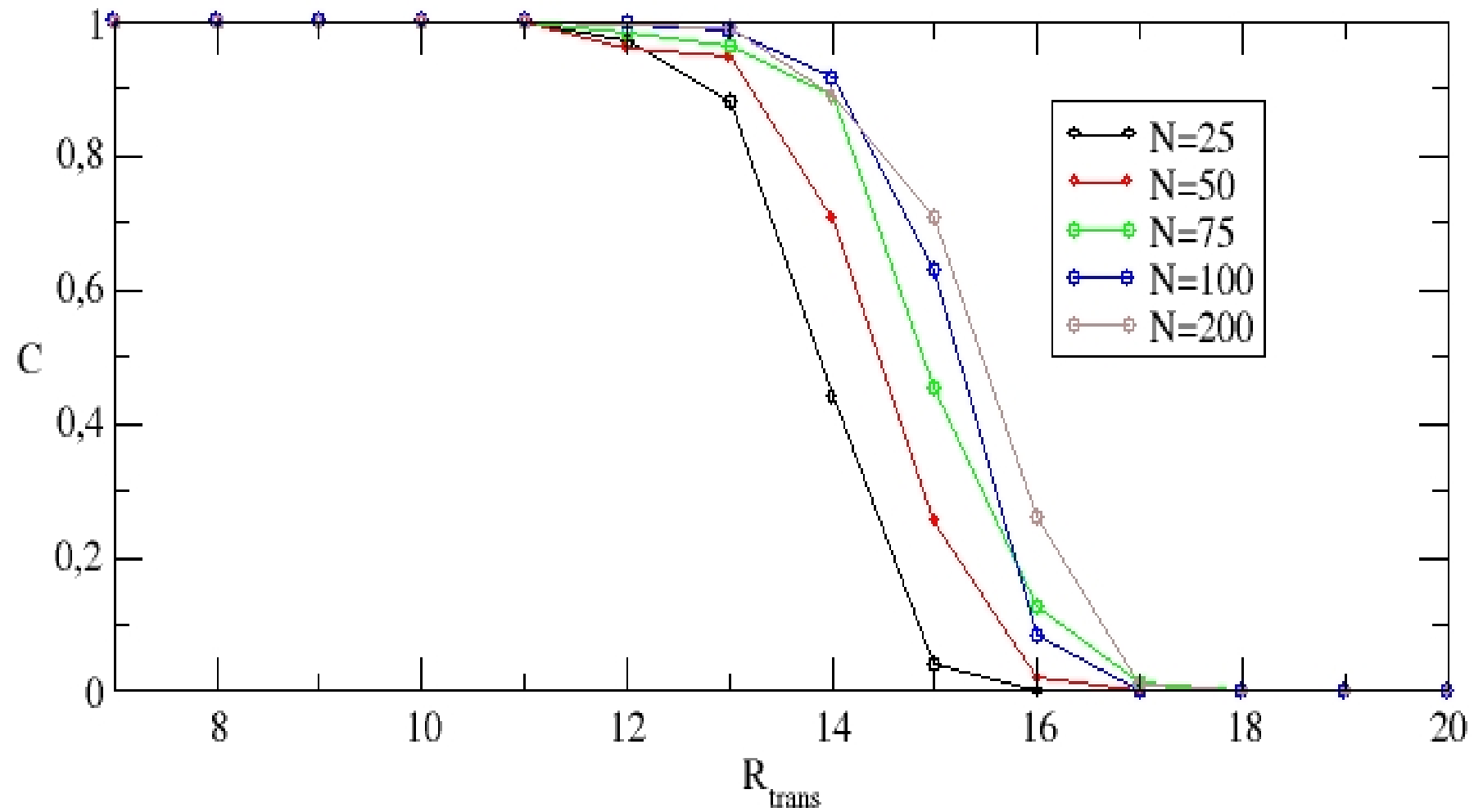


$$R_{ij} = 3$$

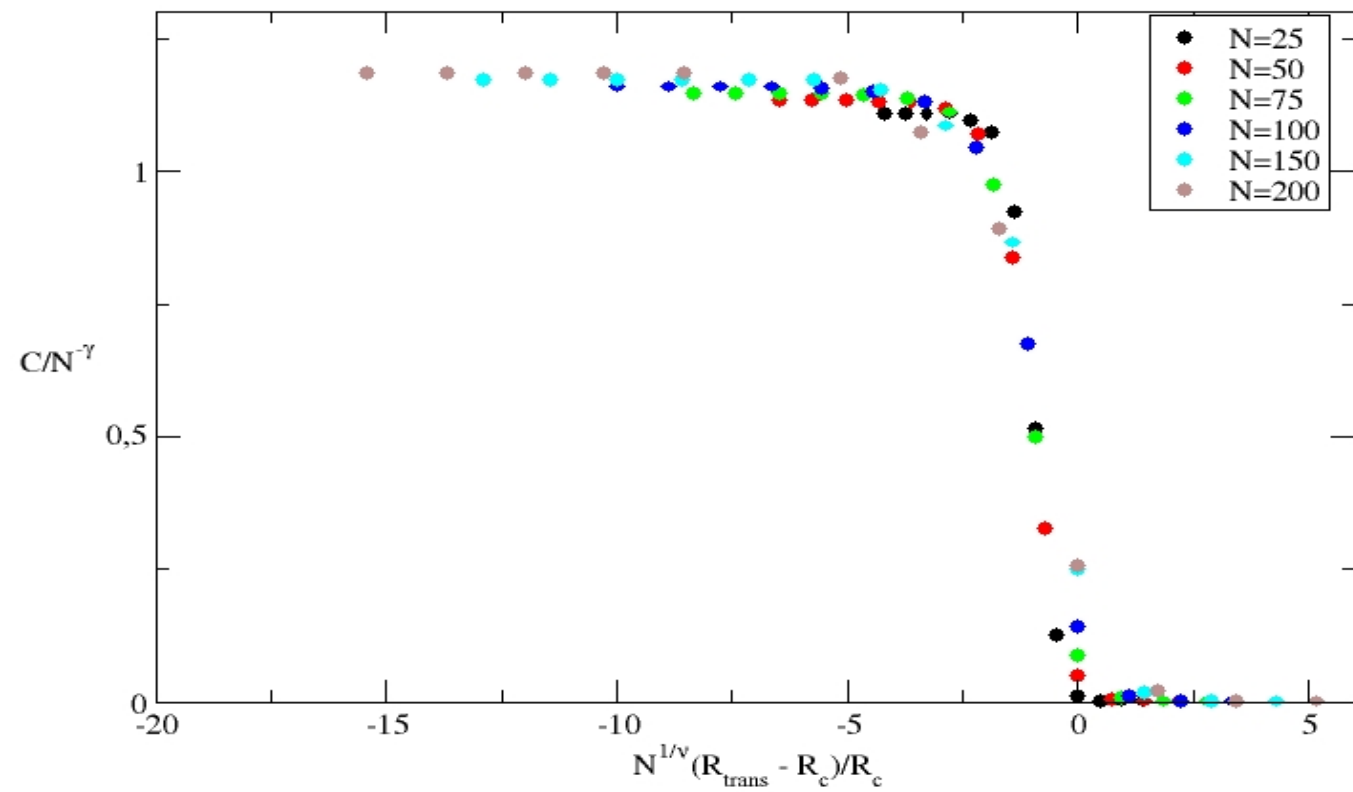
$$R_{ij} = 4$$



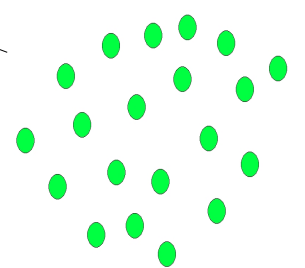
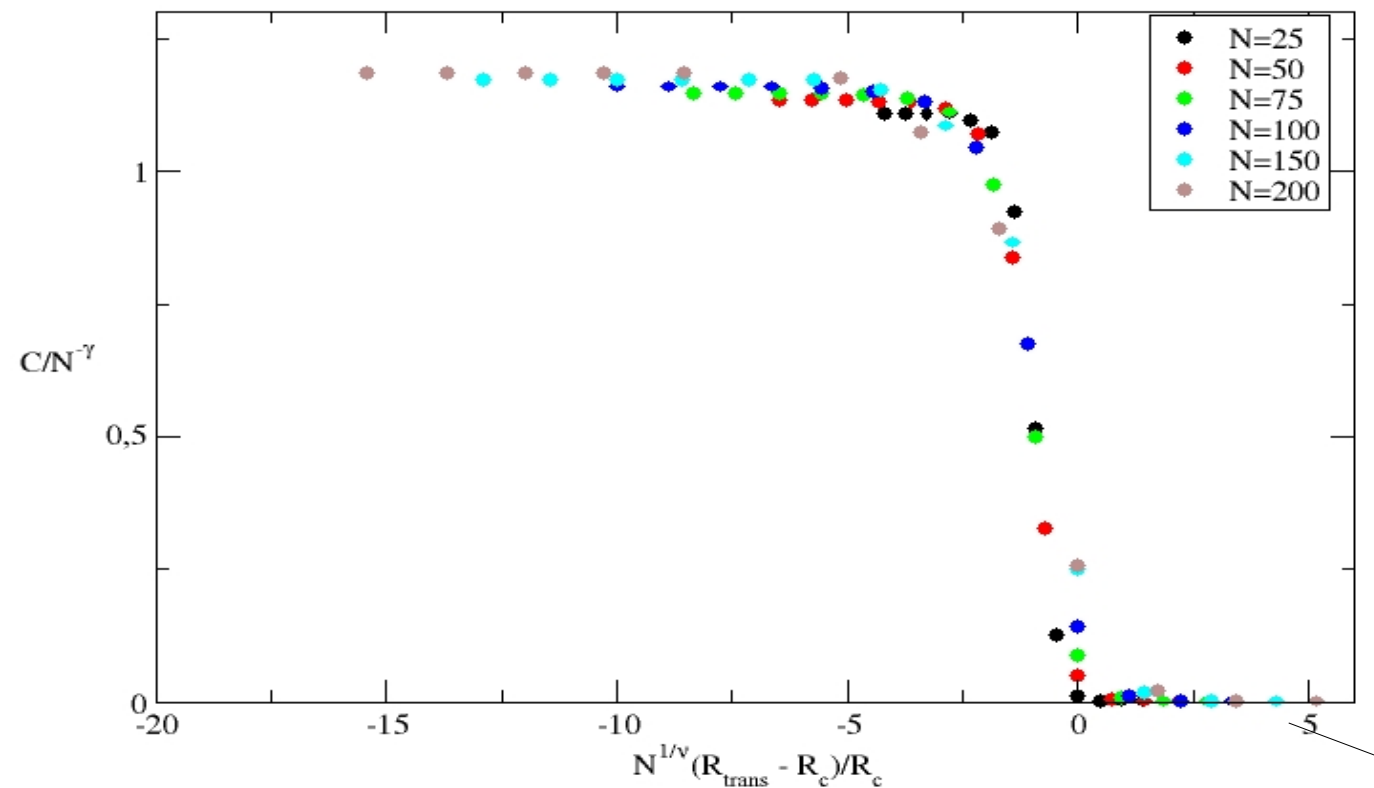
F=50 , q=10

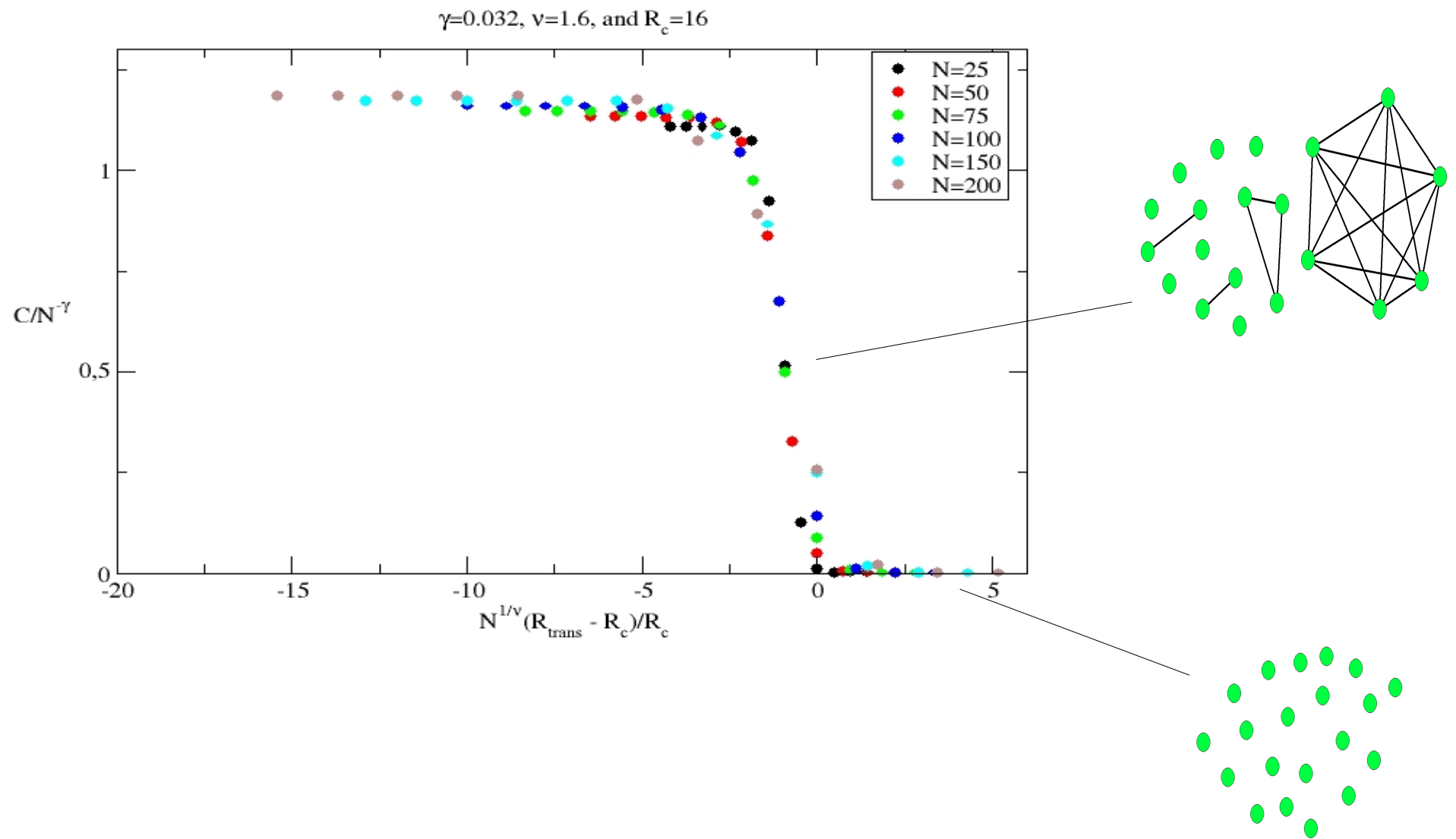


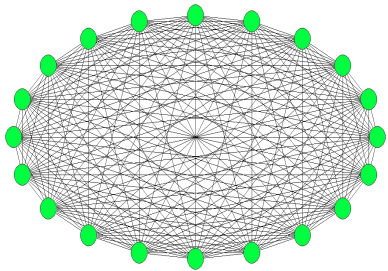
$\gamma=0.032$, $v=1.6$, and $R_c=16$



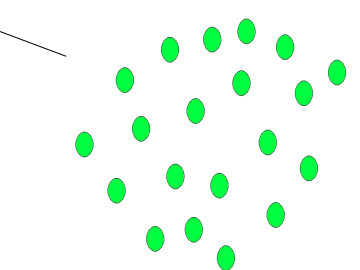
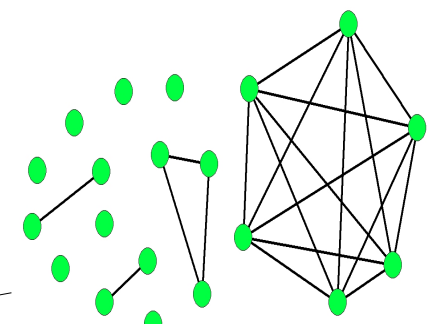
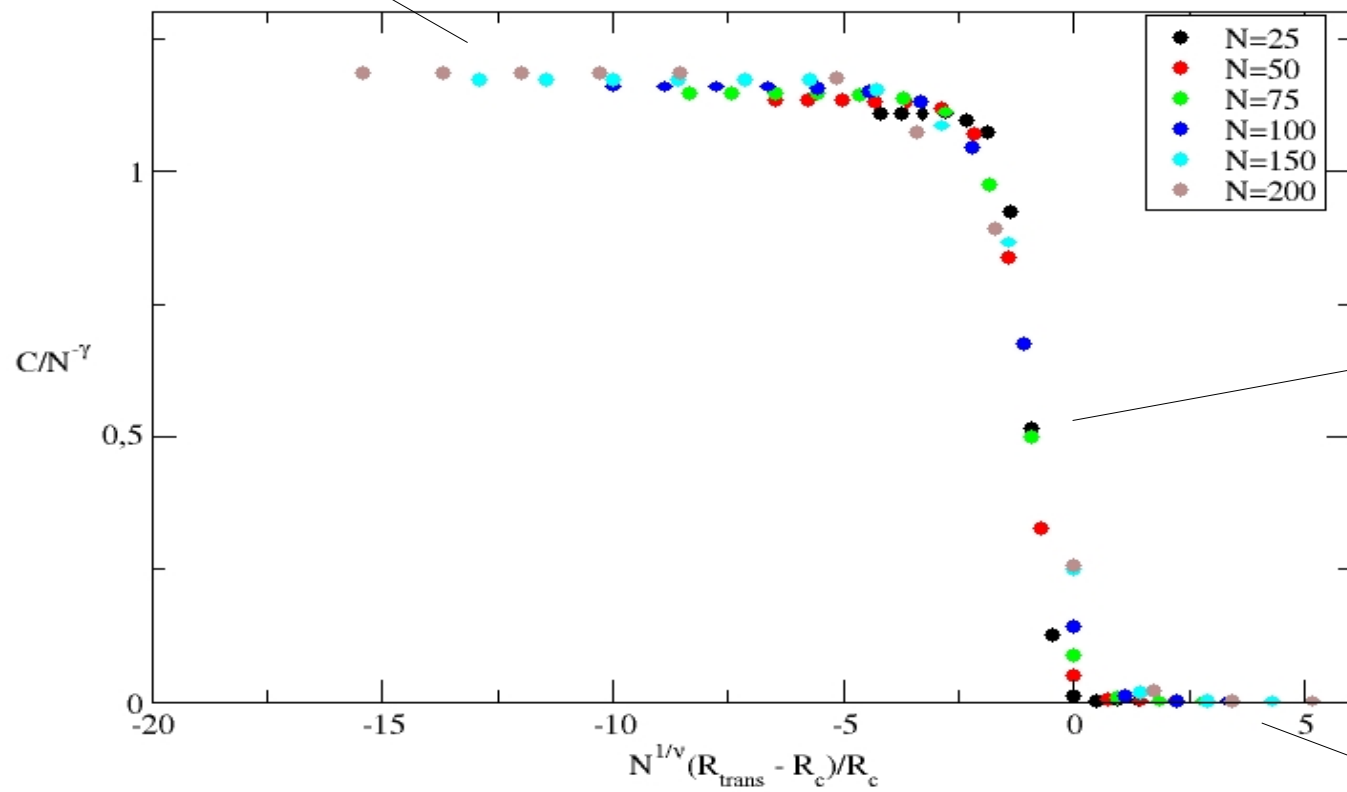
$\gamma=0.032$, $v=1.6$, and $R_c=16$







$\gamma=0.032$, $\nu=1.6$, and $R_c=16$



Transição de Fase em sistemas Físicos

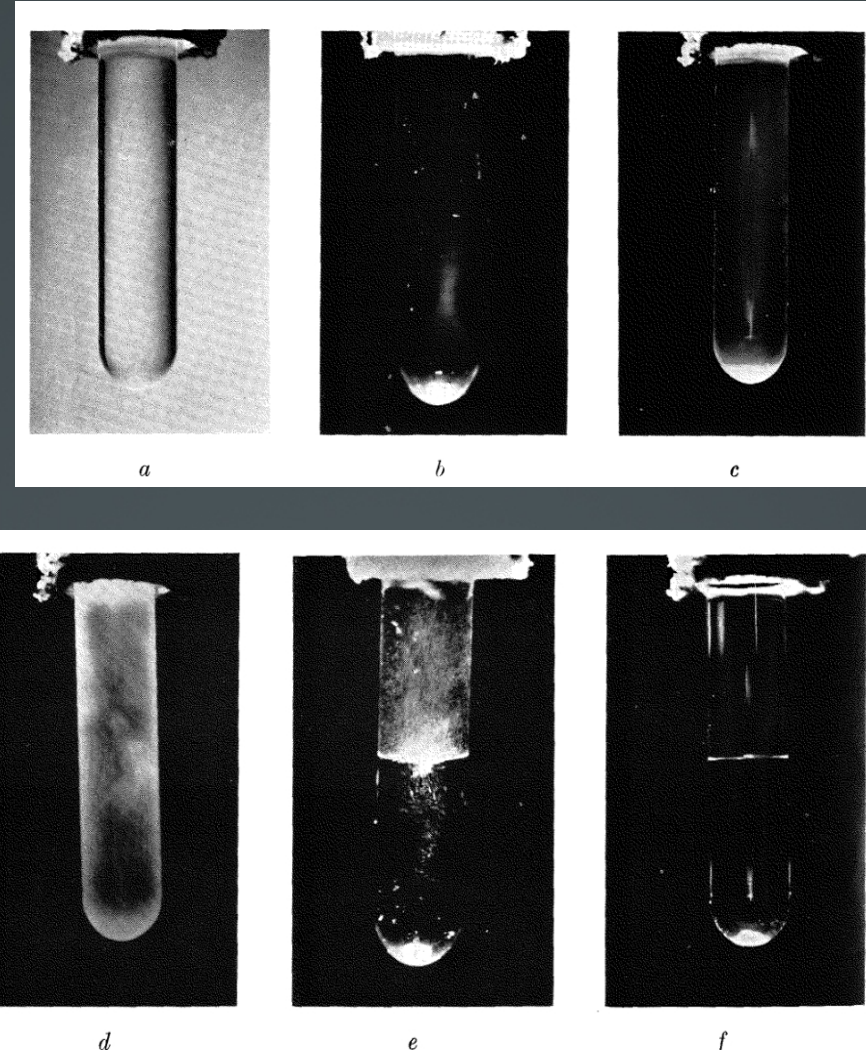
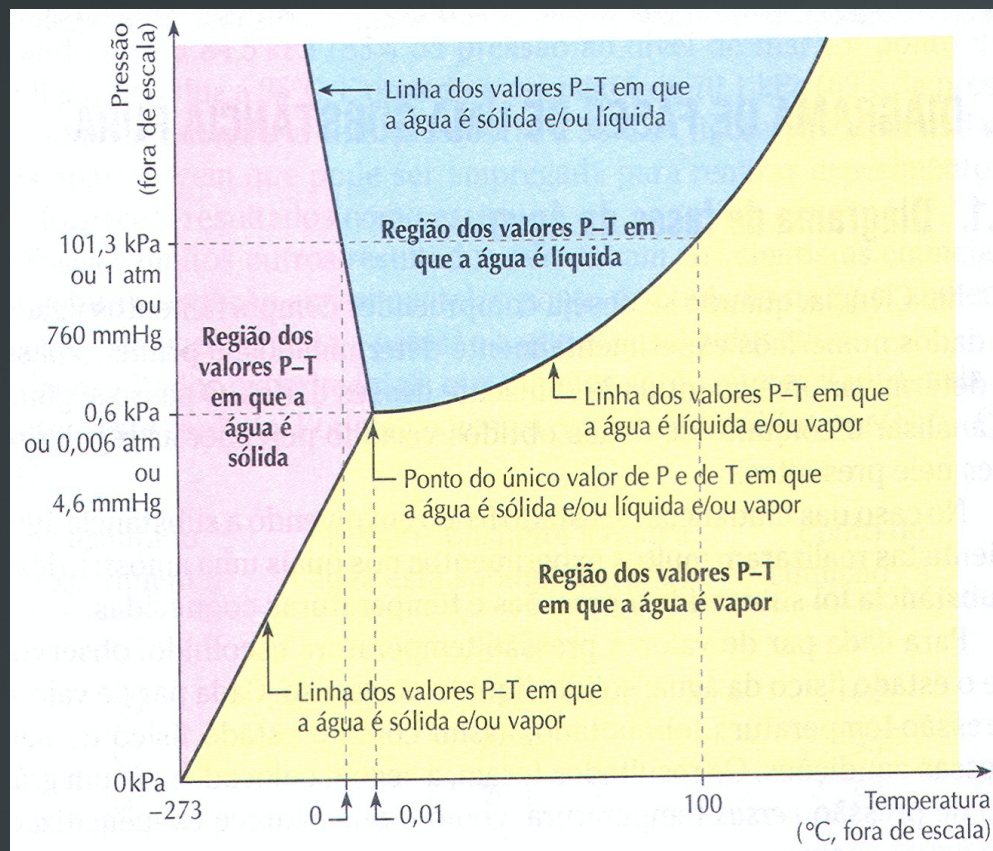
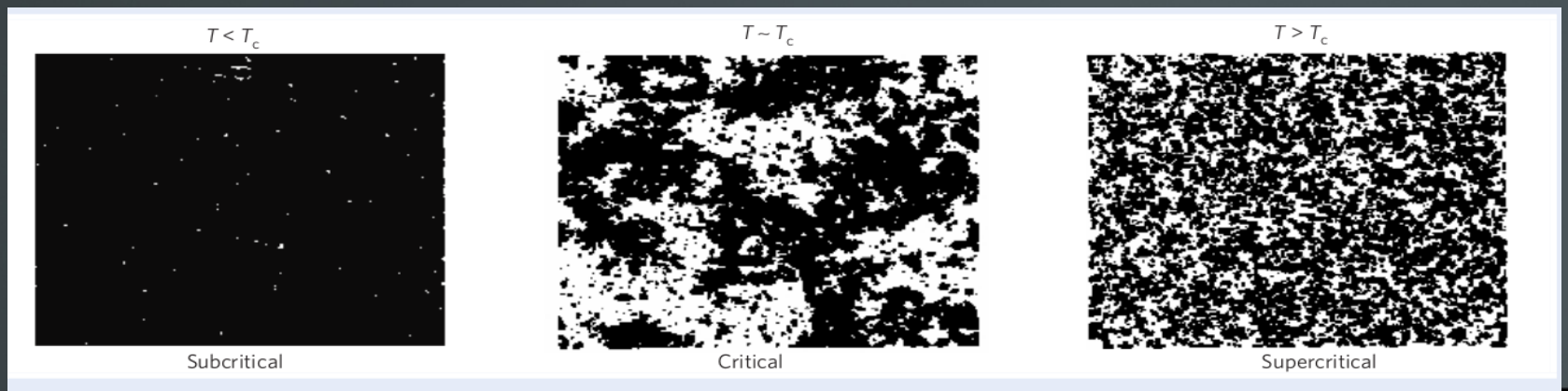
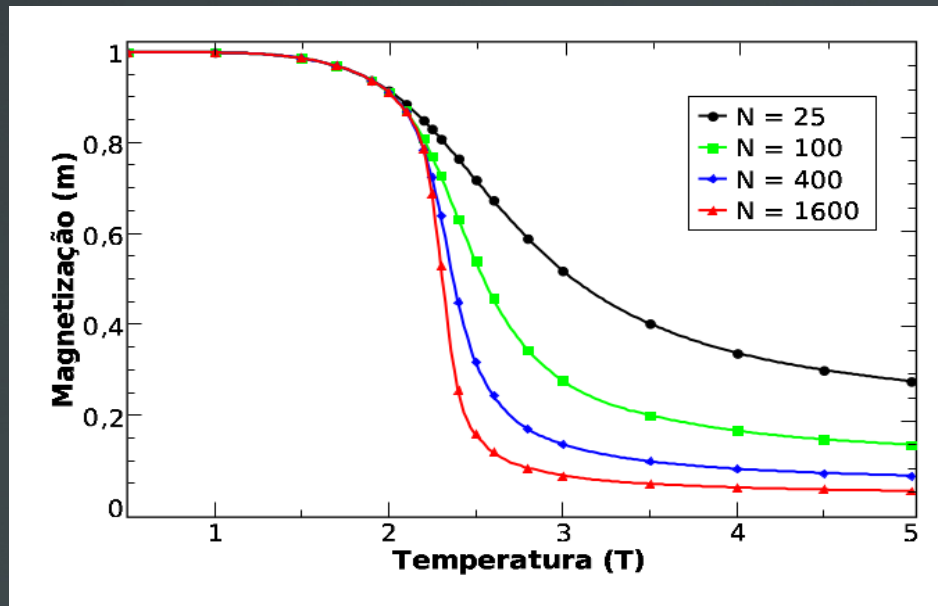


FIG. 1.6. Behaviour of a fluid as the temperature is lowered past the critical temperature: (a), $T \gg T_c$; (b), $T \gtrsim T_c$; (c), $T \simeq T_c$; (d), $T \lesssim T_c$; (e), $T < T_c$; and (f), $T \ll T_c$. The fluid shown is the binary mixture cyclohexane-aniline. After Ferrell (1968).

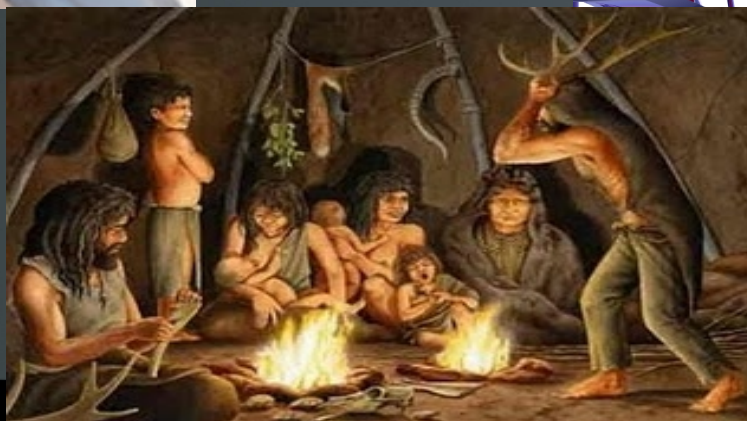
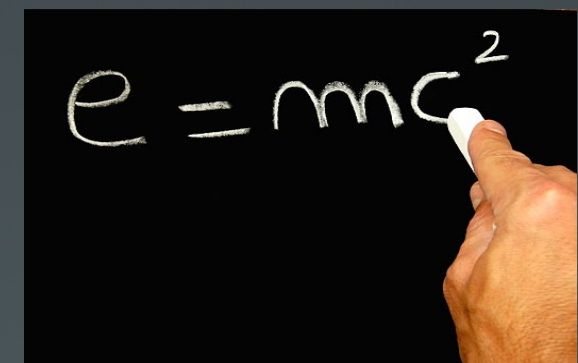
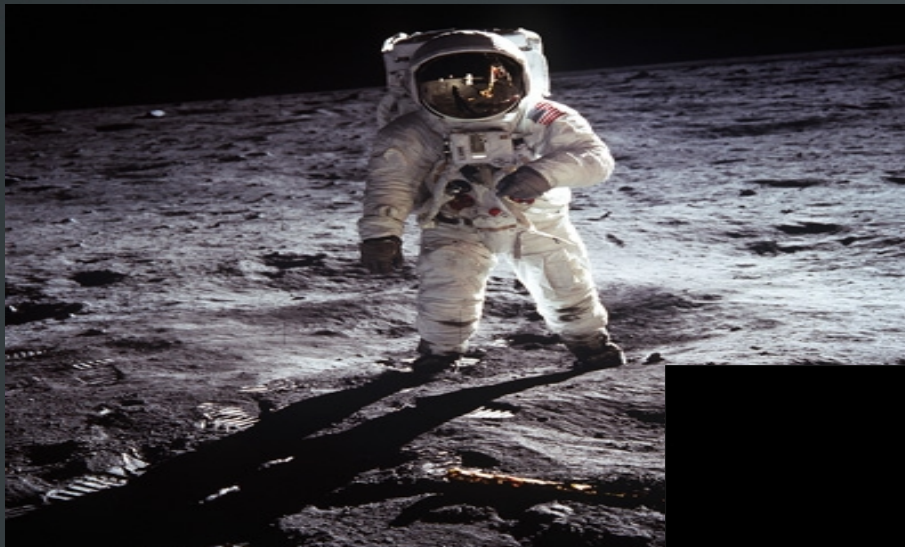
Transição de Fase em sistemas Físicos



Cultura

Crenças, mitos, ideias, conhecimentos e costumes
compartilhados por um grupo de indivíduos



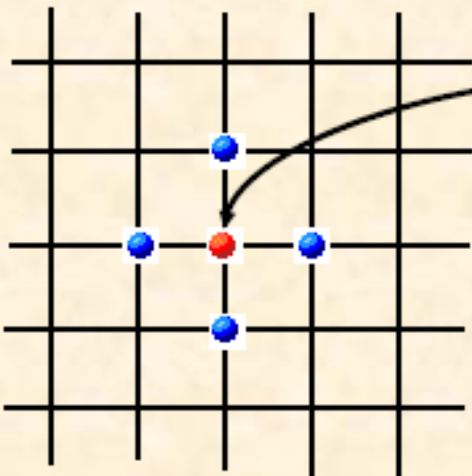








Axelrod's agents based model: interaction



agent i •
agent i 's neighbors

$$\begin{pmatrix} \sigma_{i1} \\ \sigma_{i2} \\ \vdots \\ \sigma_{iF} \end{pmatrix}$$

$F = \# \text{ Features}$
 $q = \# \text{ Traits per feature}$
 $\sigma_{if} \in \{0, \dots, q-1\}$

$F=3; q=10$

$q^F (10^3)$ equivalent cultural options.

0	5
0	9
7	7

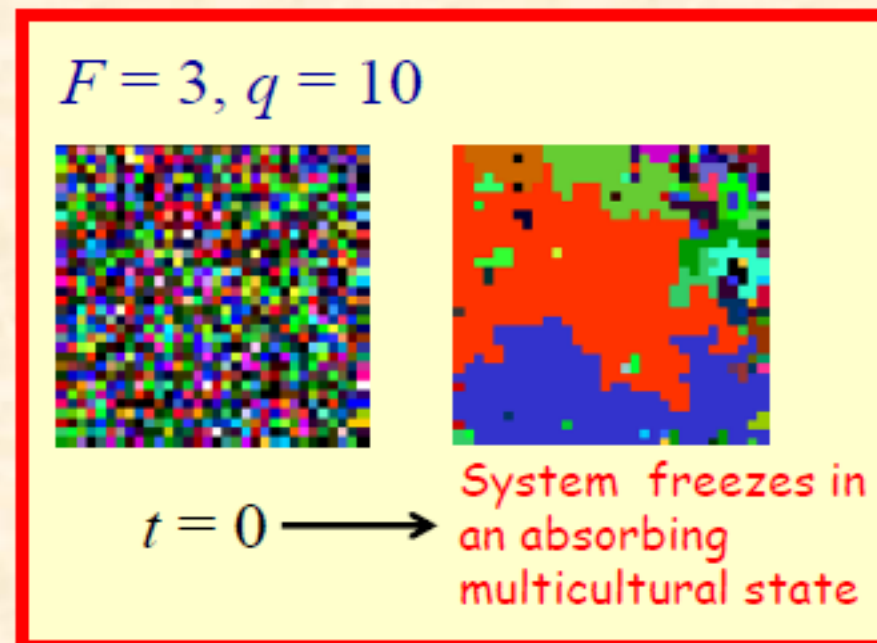
Mechanism of local convergence:

Prob to interact =

$$\frac{\text{Common features}}{F} = \frac{1}{3}$$

5	5
0	9
7	7

Axelrod's Dynamics

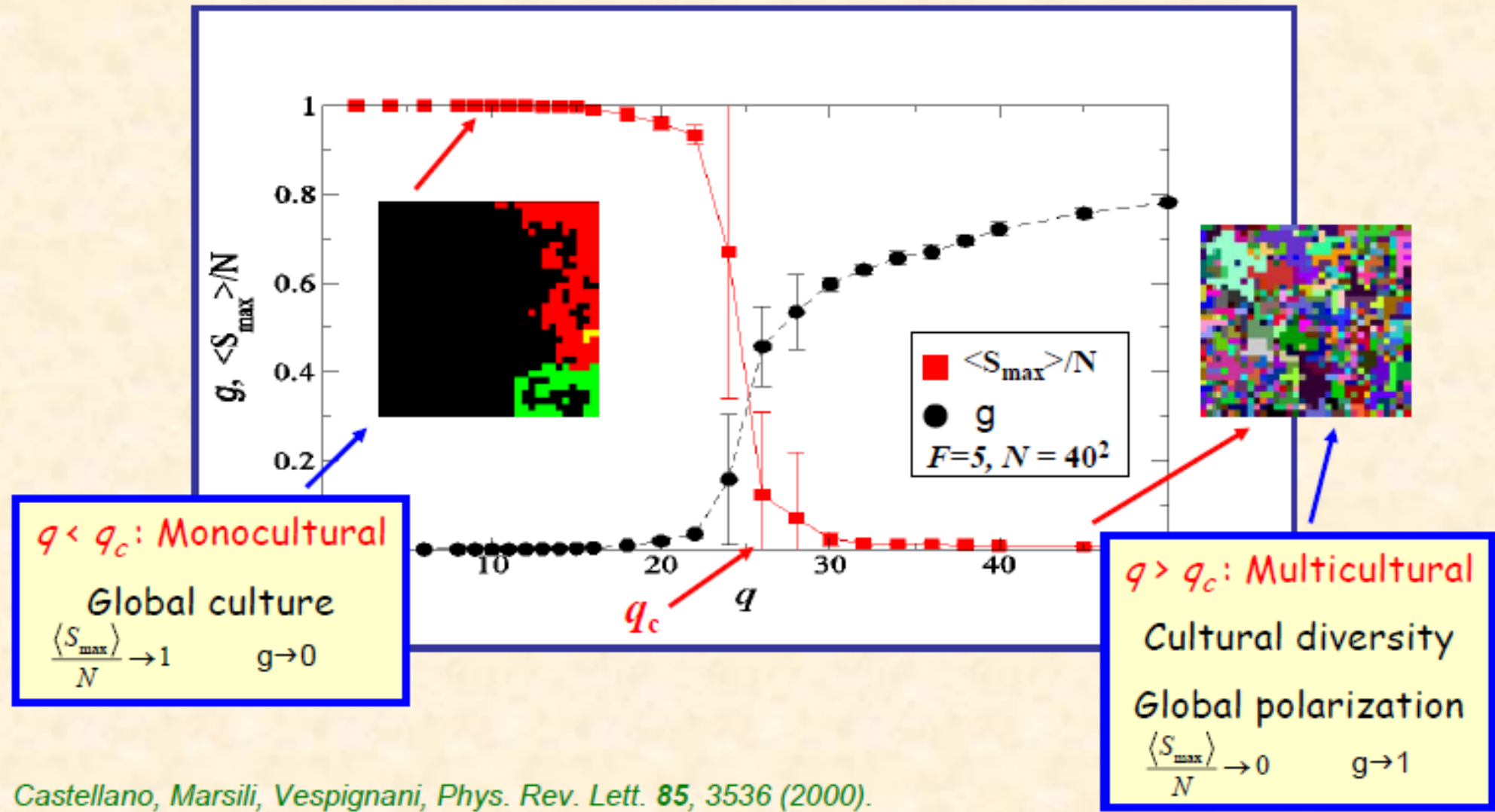


← http://www.imedea.uib.es/PhysDept/research_topics/socio/culture.html

- The model illustrates how local convergence can generate global polarization.
- Number of domains taken as a measure of cultural diversity
- Uniform state always prevails without similarity rule (Kennedy 1998)

Polarization-Globalization transition in Axelrod's model

Order parameters: a) S_{\max} size of the largest homogeneous domain
b) $g = \langle N_g \rangle / N$, $N_g = \#$ cultural groups



Repertorio de Sinais Vocais (R)

Tamanho de Grupo (G)

Tamanho do Neocortex (r)

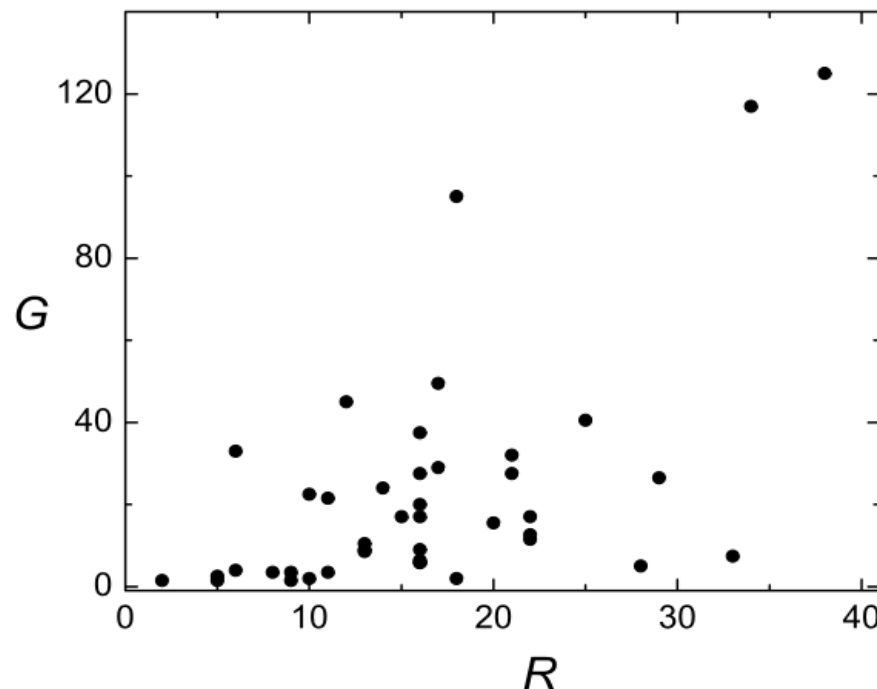


Fig. 1. Group size vs. repertory size among non humans primate species, from [3].

Modelo de Kuperman

- Baseado no modelo de Axelrod
- Probabilidade de interação entre dois sítios:

$$\sigma = 1 - \left(\frac{d_H}{R} \right)^{-\frac{1}{r}} \quad (5)$$

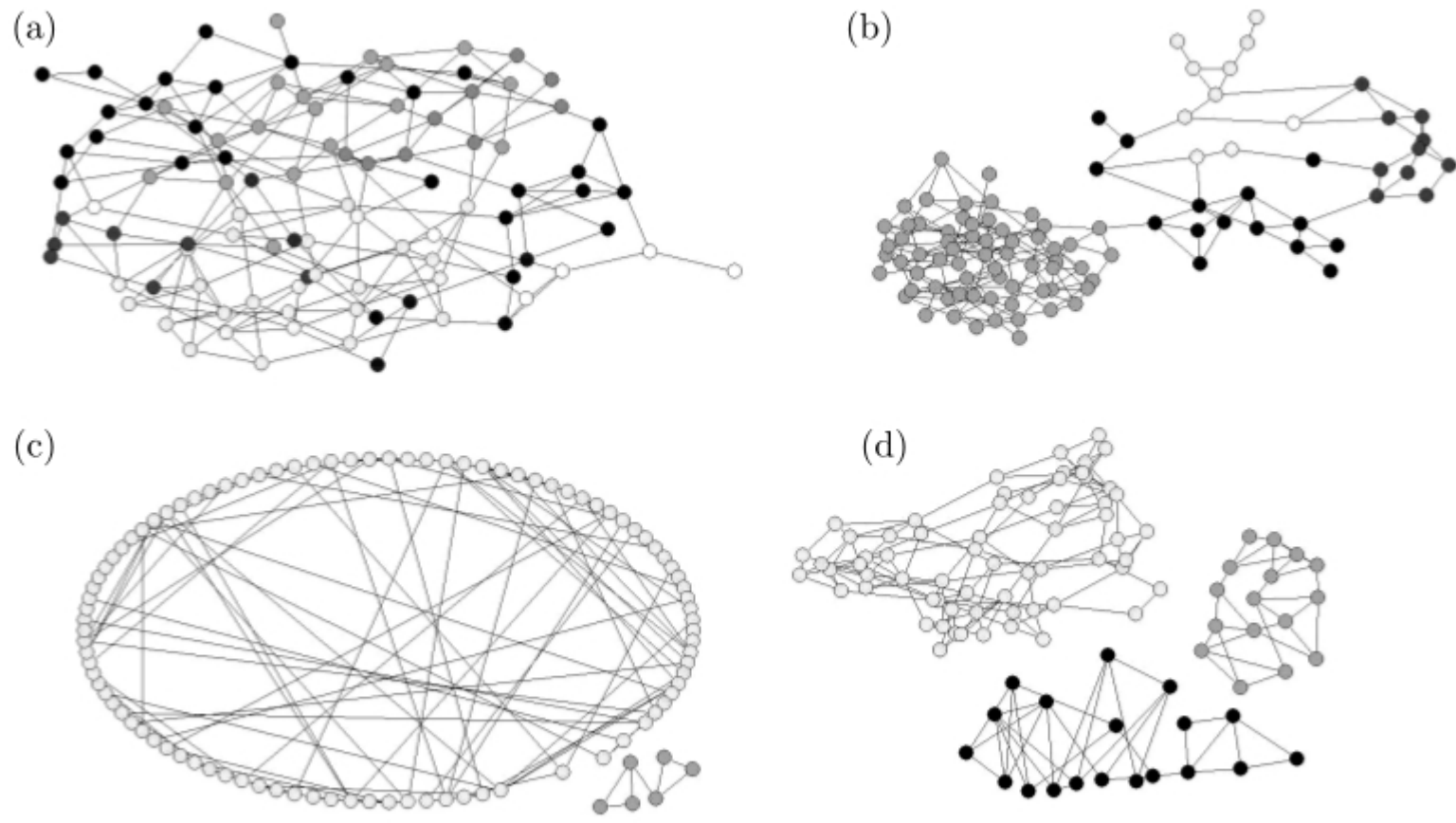
onde

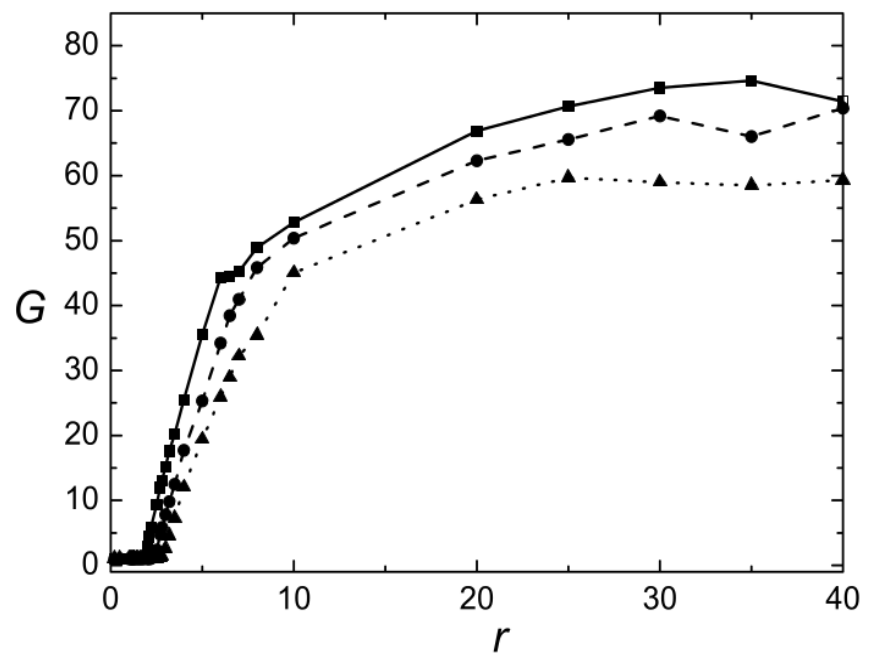
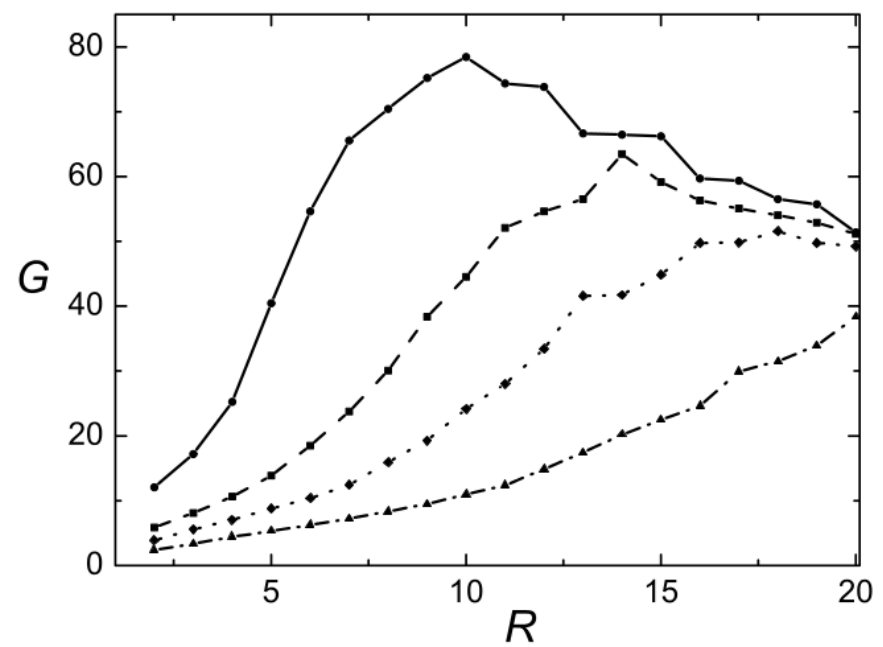
d_H : distância de hamming entre os dois indivíduos;

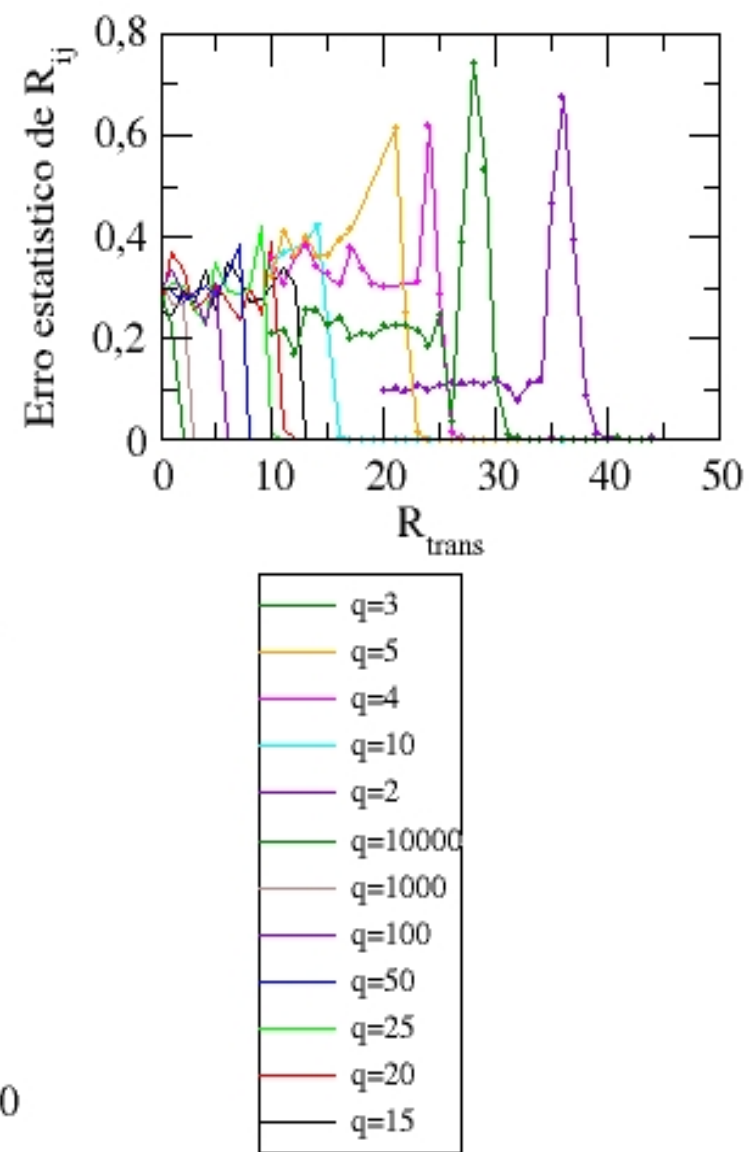
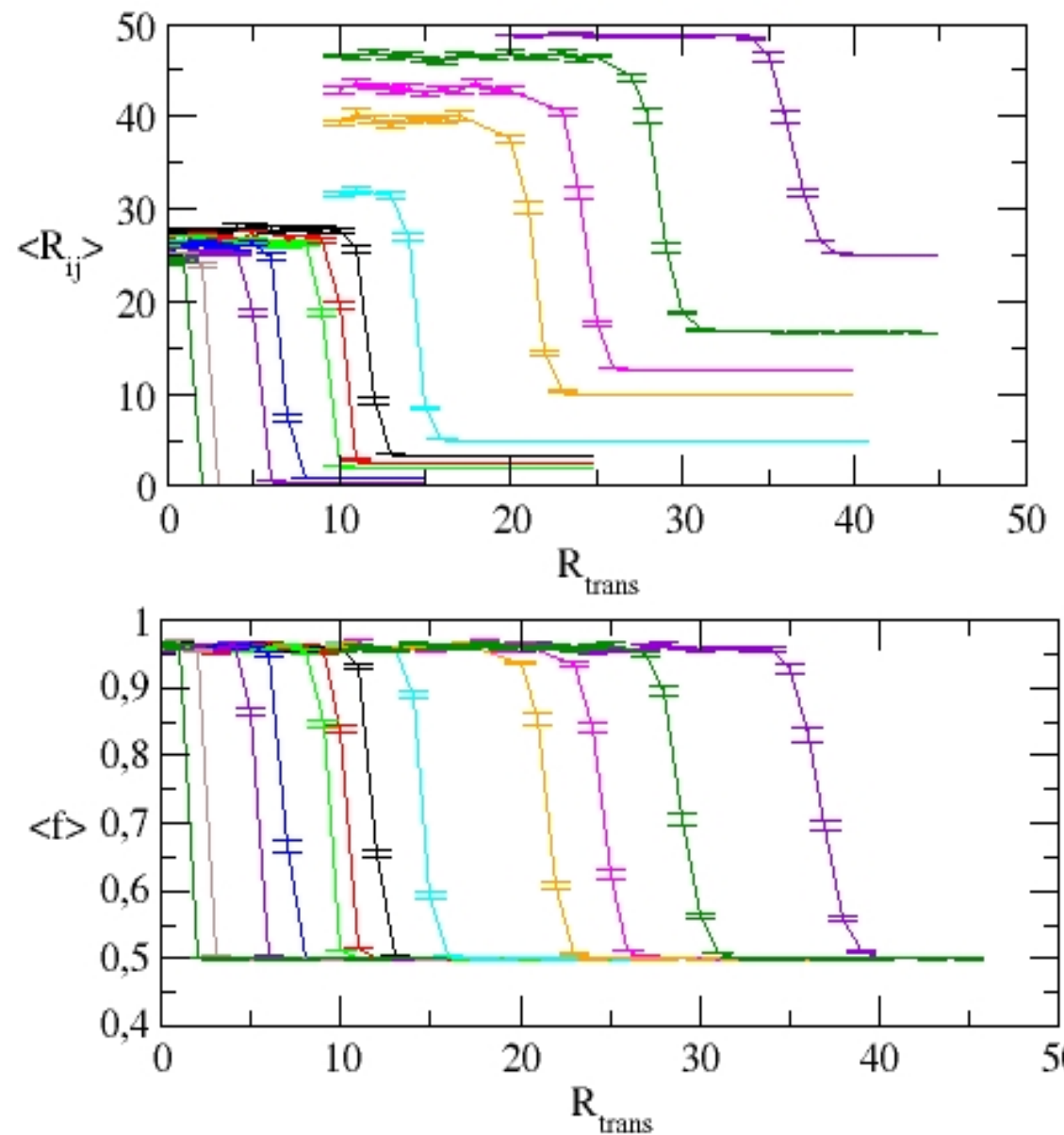
r : parâmetro relacionado com o tamanho do neocortex;

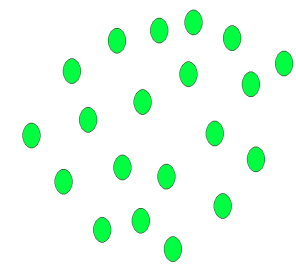
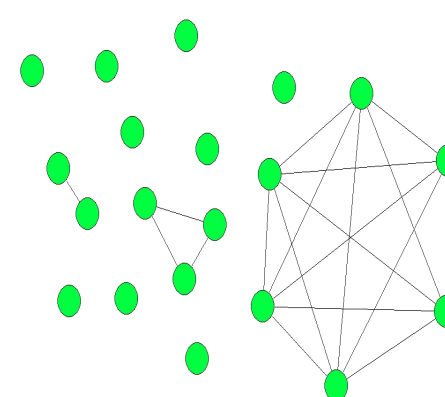
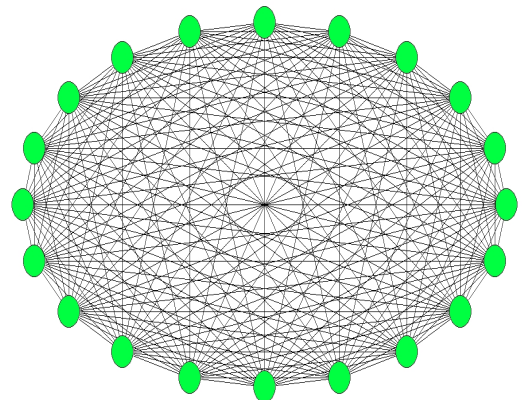
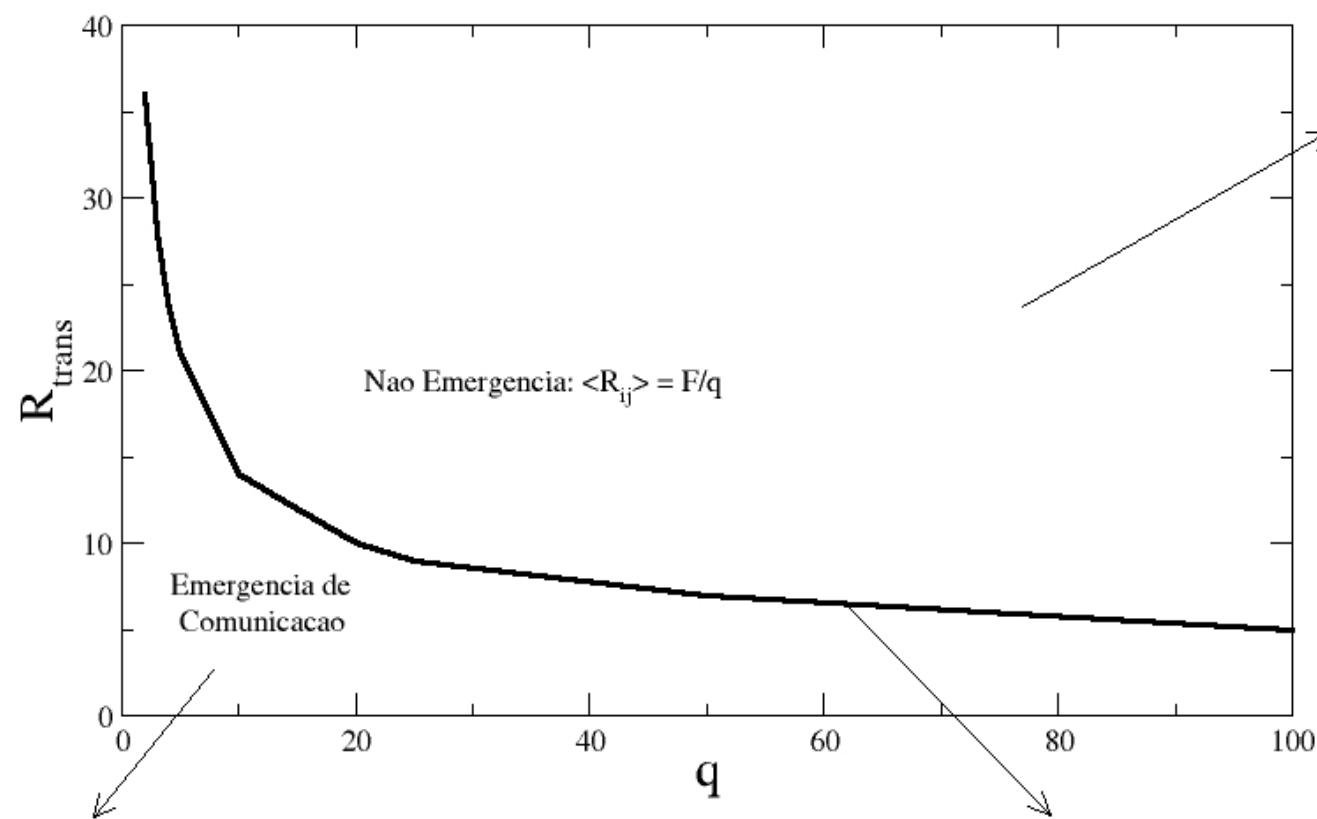
R : repertório de sinais (features);

- De tempos em tempos, um indivíduo pode substituir um de seus links por outros links com indivíduos mais parecidos.

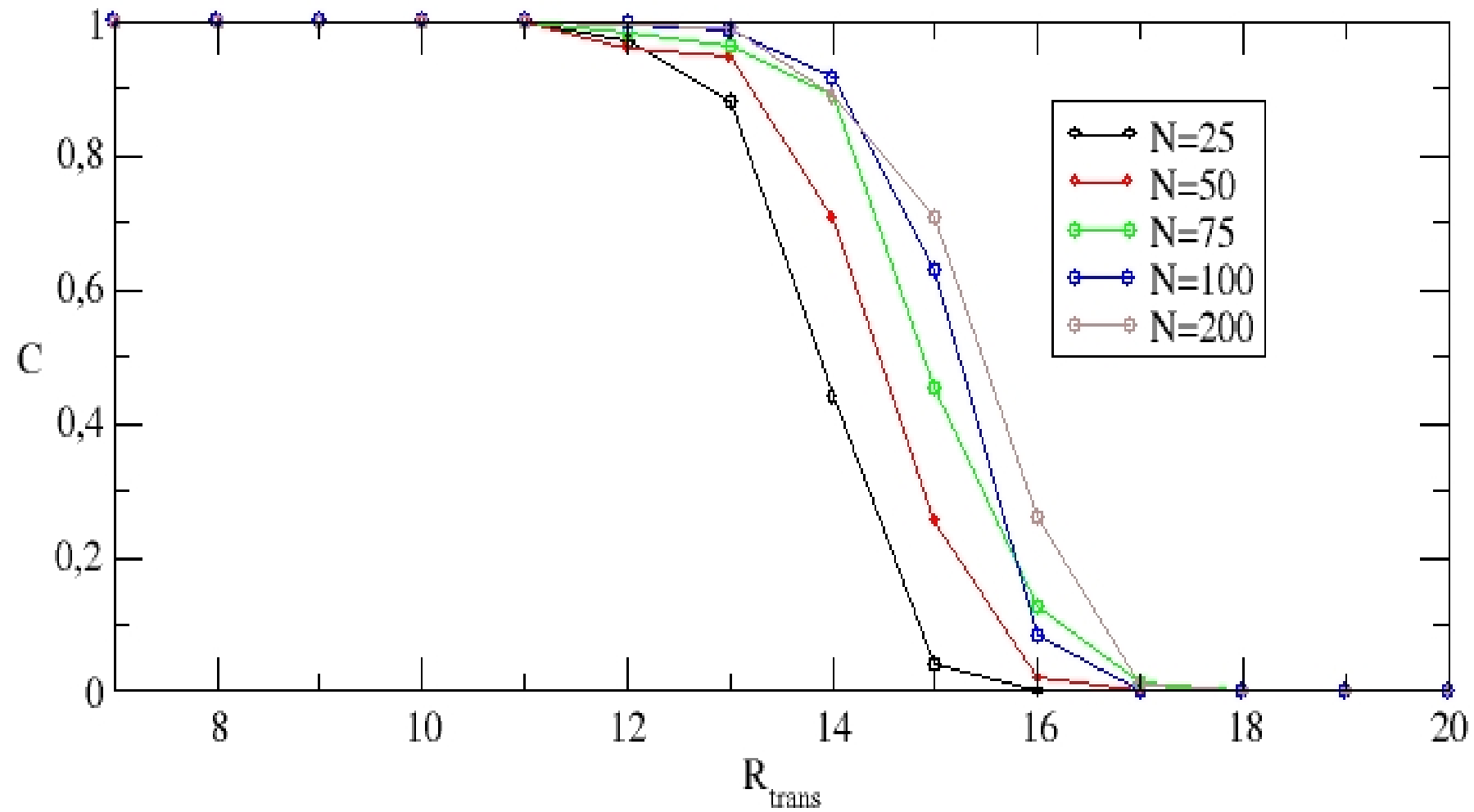








$F=50$, $q=10$



Transição de Fase em sistemas Físicos

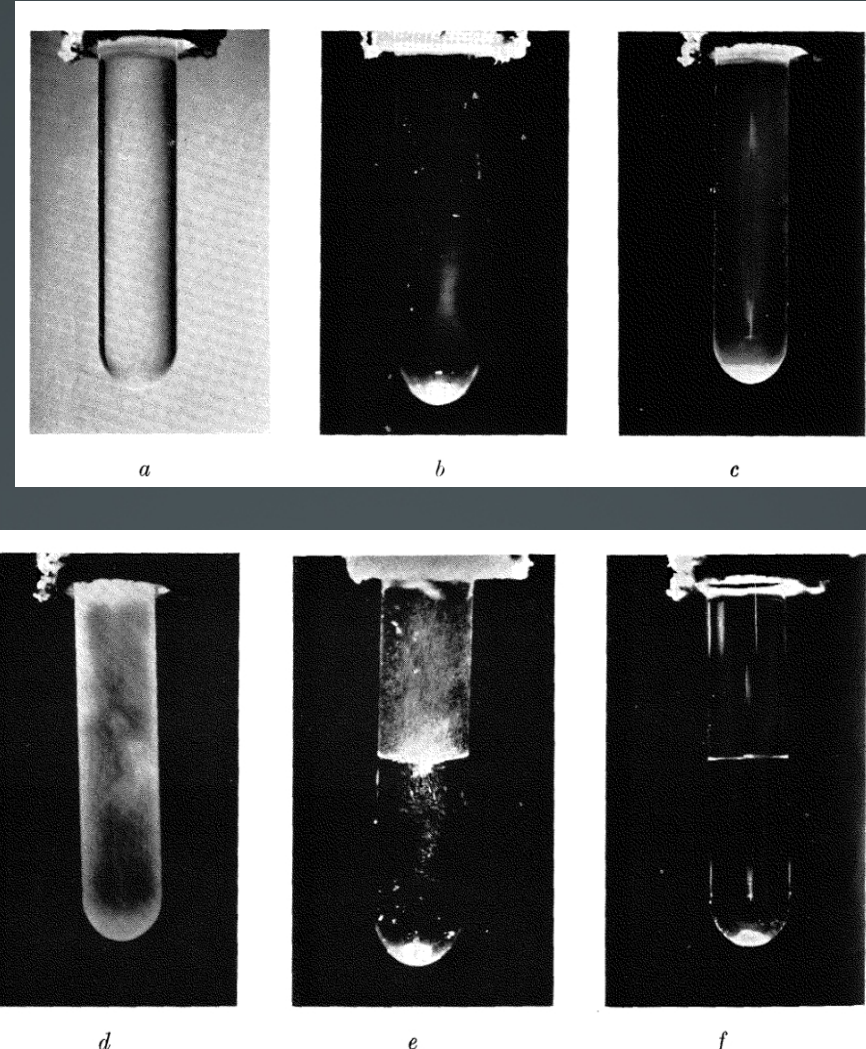
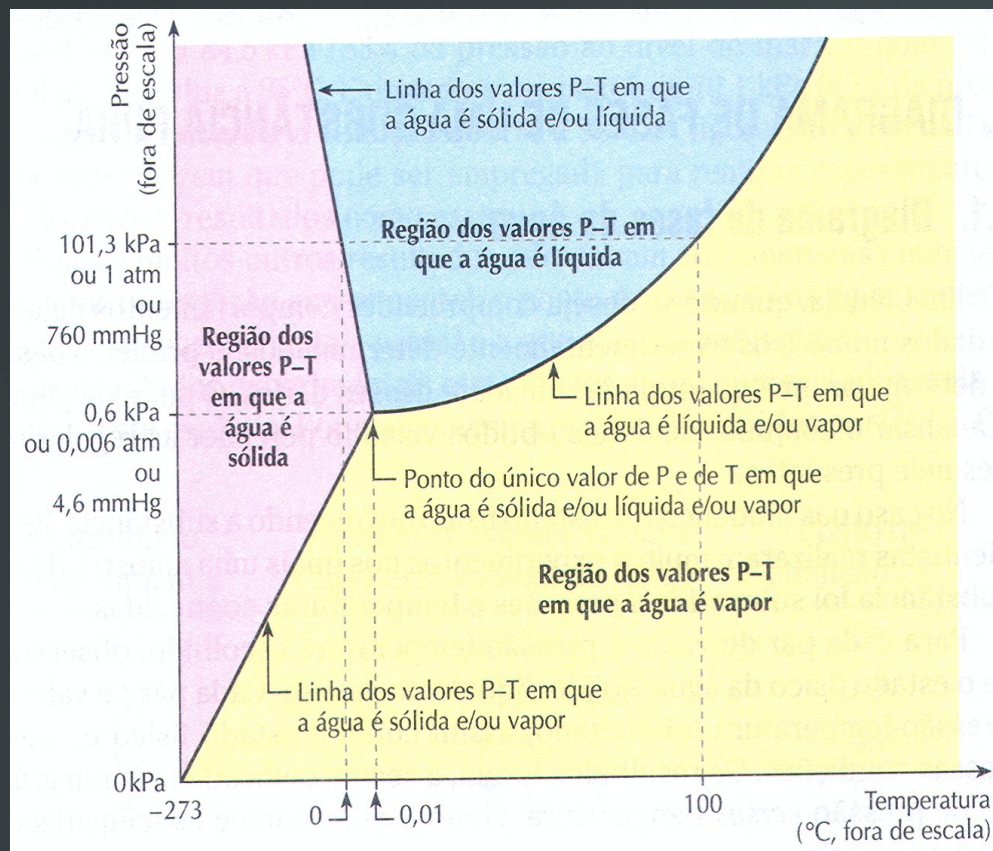
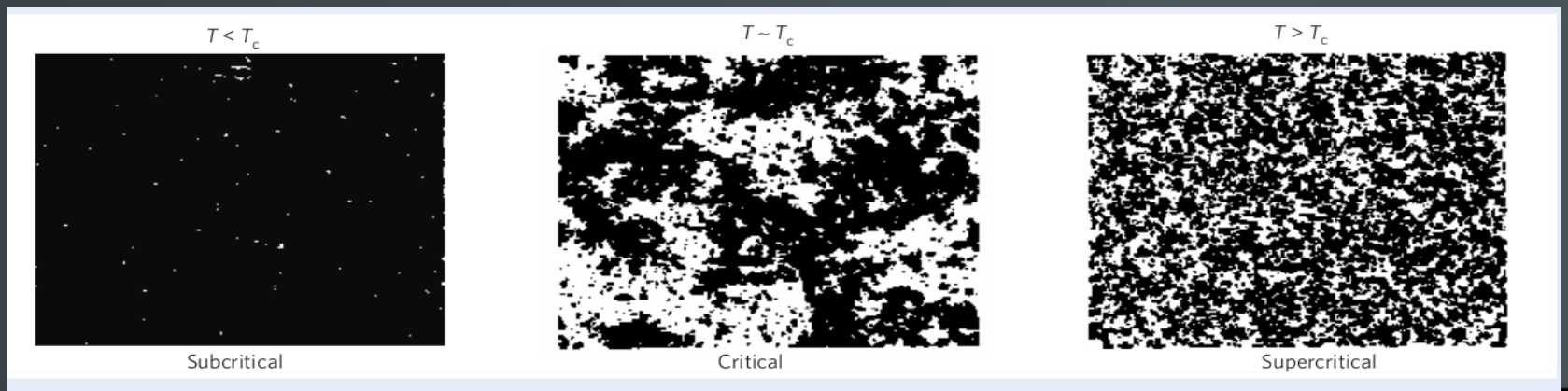
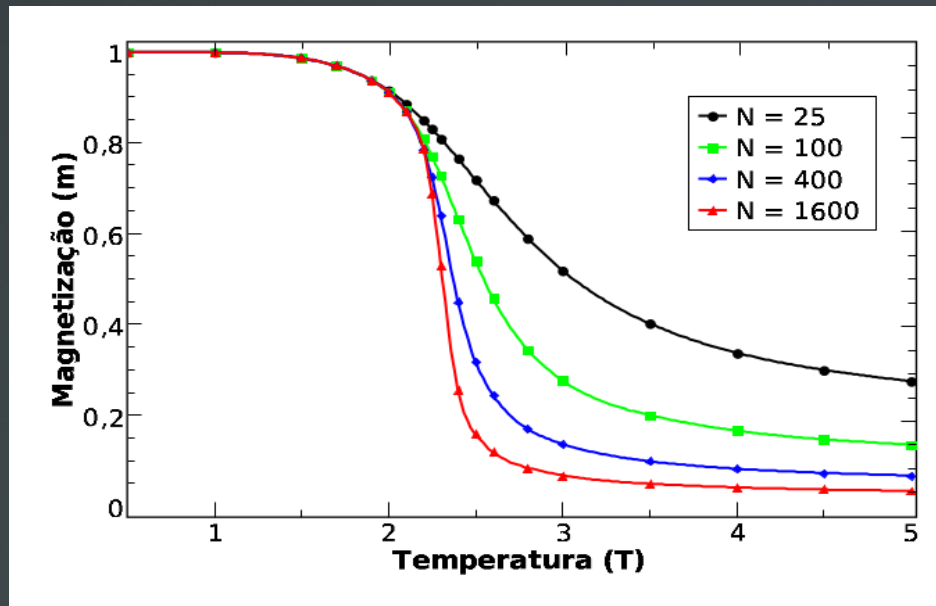
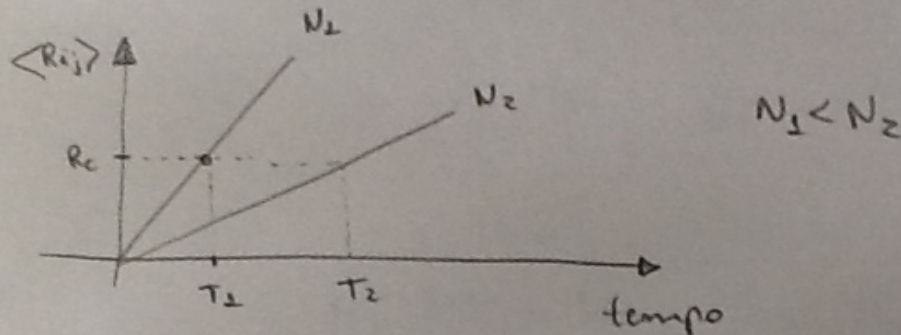


FIG. 1.6. Behaviour of a fluid as the temperature is lowered past the critical temperature: (a), $T \gg T_c$; (b), $T \gtrsim T_c$; (c), $T \simeq T_c$; (d), $T \lesssim T_c$; (e), $T < T_c$; and (f), $T \ll T_c$. The fluid shown is the binary mixture cyclohexane-aniline. After Ferrell (1968).

Transição de Fase em sistemas Físicos

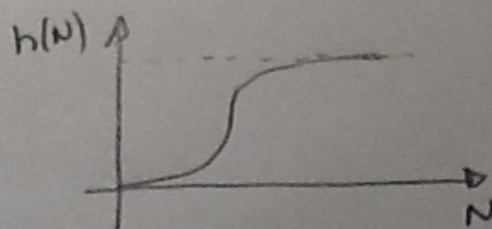


→ $\langle R_{ij} \rangle$: # Média de reproduções comuns entre os pares da população



$$T \propto N$$

→ $h(N)$: payoff da população



Sugestão de
Pumbar & Barret

$$h(N) = \begin{cases} 0 & \text{se } t < T \\ \frac{1}{1 + e^{(r_B - r_N)}} & \text{otherwise} \end{cases}$$

→ Payoff individual como resultado de "Symbolic Learning"

$$b_{se}(N) = \frac{h(N)}{N} - \gamma \cdot T(N)$$

payoff global
dividido igualmente
entre os membros
do grupo

unità da
comunicação

→ Suponha se o indivíduo pode decidir p/ o "Symbolic Learning" ou "Observational Learning"

$$b_{se} = \text{cte} \rightarrow \text{Payoff do "Observ. Learning" individual}$$

→ Habrá emergencia de lenguaje simbólico cuando:

Payoff individual
Sib. learning > Payoff ind.
Observational learning

$$b_{se}(N) > b_{ob}$$

